

## تغير المناخ العالمي وأثاره السلبية على العراق

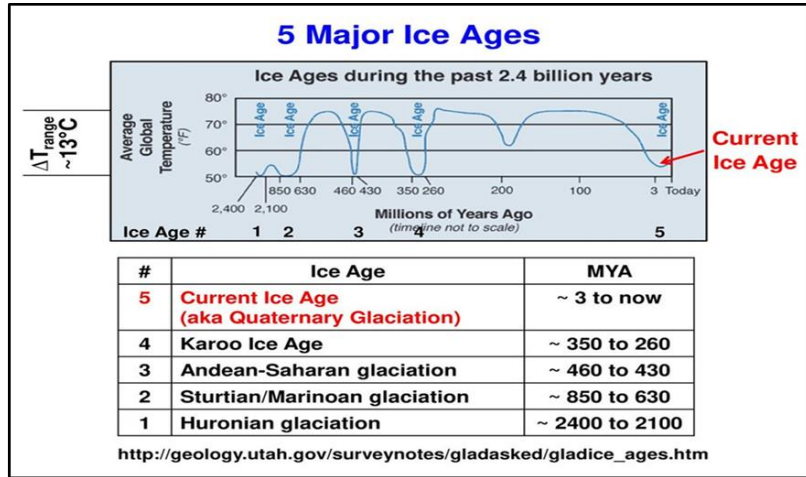
نصرت آدمو (1)

### المقدمة

تشغل ظاهرة " التغير المناخي العالمي " أو ما يطلق عليه أيضا " ظاهرة الاحترار العالمي " أليوم أهتمام الحكومات والشعوب ووسائل الأعلام وذلك لأنها بدأت تؤثر الآن في حياة العديد من شعوب العالم وبينهم العراق وتهدد مستقبلهم وأمنهم الغذائي والمجتمعي . والألفت للنظر بأن العديد من الناس لايعرفون الشيء الكثير عن هذه الظاهرة ومسبباتها وعن الحلول لها إن وجدت مثل تلك الحلول . لذلك لابد لنا في المستهل أن نبين تأريخ هذه الظاهرة ومسبباتها ثم ألولوج في تفاصيلها قبل أن نشرح المزيد عنها فيما يتعلق ببلدنا العراق حاضرا ومستقبلا.

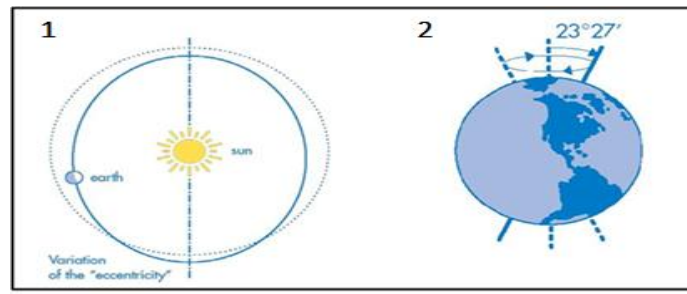
إن ظاهرة التغير المناخي هي ليست بالظاهرة الجديدة بالنسبة لكوكب الأرض وأن قدمها هو بعمر هذا الكوكب البالغ ما يزيد على (4.54) مليار سنة عندما انفصلت الأرض عن الشمس وتكونت قشرتها وغلافها ألجوي وبدأت المحيطات والقارات بالتكون لتأخذ شكلها شبه النهائي ، مع ما صاحب ذلك من حركات تكتونية وزلازل وبراكين وظهو ألجبال والتضاريس الأرضية . وقد صاحبت تلك التطورات تغيرات مناخية عنيفة بسبب الاختلافات في درجات الحرارة بين المحيطات واليابسة وتأثر ألغلاف ألجوي بسحب ألدخان والنفث ألبركاني من انفجارات ألبراكين المتكرر وأصطدام ألنيازك ألكثيرة . وما أن حصل هدوء نسبي في تلك الظواهر الطبيعية التي أستمريت مئات ألملايين من السنين حتى بدأت اشكال الحياة البدائية بالظهور قبل ما يقرب من (4.5) مليار سنة ، وساعدت فترات من المناخ ألملائم على تطور ملايين الاشكال من الأنواع والفصائل ألنباتية والحيوانية ألتي ما لبثت معظمها أن انقرض بسبب حصول فترات أخرى من المناخ ألذي لم تتمكن فيه تلك المخلوقات من التكيف معها وحل محلها ملايين الأصناف والأنواع الأخرى ، وهكذا أستمريت دورات الحياة المتعاقبة لتصل ألى ما وصلت أليه الآن بعد حصول العديد من أهلاكات الكبيرة ليس أقلها هلاك ألديناصورات وغيرها من فصائل ألحيوان

والنبات بحسب ما يخبرنا به علماء الجيولوجيا والأتروبولوجيا ووفقا لنظرية داروين في النشوء والتطور التي تُعد اليوم النظرية الأكثر مقبولة في ضوء المكتشفات الأحفورية والجيولوجية . وشهدت الأرض خلال تلك الفترة ألدائية حصول خمسة عصور جليدية رئيسية تخللتها فترات دافئة كما مبين في (الشكل 1) مما زاد من التأثيرات على بيئة الأرض والكائنات التي عاشت فوق سطحها.



الشكل 1: العصور الجليدية الخمسة التي مرت على الأرض (2).

وما ساعد أيضا في هذه التغيرات المناخية المتكررة بحسب نظرية ميلانكوفيتش (Milankovitch) هو انحراف مدار الأرض الدوري حول الشمس عن موقعه الأصلي والذي يصل مداه الأقصى مرة كل (41000) سنة وكذلك تذبذب محور الأرض نفسها بمقدار يصل أقصاه مرة كل (25800) سنة وكما في (الشكل 2)(3).



الشكل 2: مخطط يمثل الانحراف في مدار الأرض حول الشمس عن مدارها الأصلي كما في (1) ، وتذبذب محور الأرض نفسه كما في (2) (3).

ومن نافلة القول أن هذه الدينامية قد أثرت ولا زالت تؤثر في تغيير مناخ الأرض لحد الآن.

## تغير المناخ العالمي في العصر الجيولوجي الحديث (الهولوسين - Holocene) وعصرنا الحالي

### (الأنثروبوسين (Anthropocene))

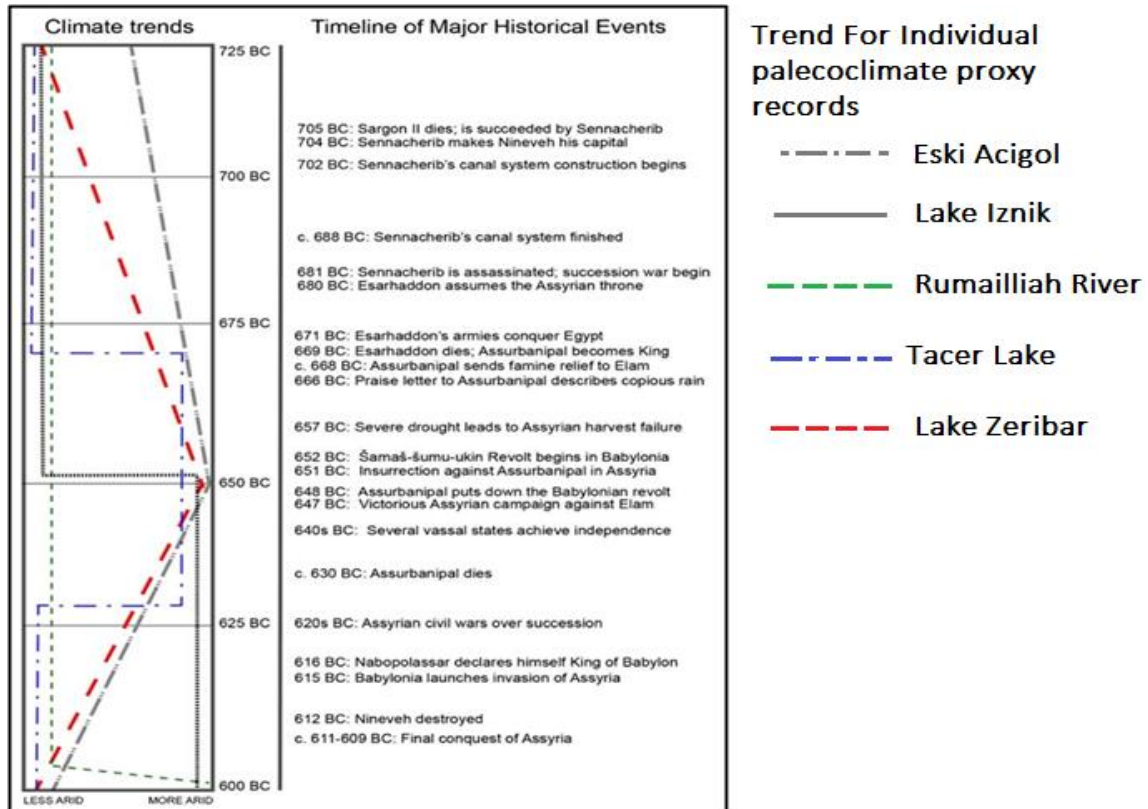
أنتهى آخر عصر جليدي على سطح الأرض قبل حوالي (12000) سنة من الآن عندما بدأ الإنسان الإنسان العاقل (Homo Sapiens) الذي كان ظهوره قبل ما يقرب من (300000) سنة في تدجين العديد من الحيوانات وأستقر في الأرض في مجتمعات سكنية ثابتة وأمتن الزراعة وساعده في ذلك تغير المناخ العالمي وبدء الفترة ألدافئة الحالية التي أطلق عليها العلماء (عصر الهولوسين) وفيه بدأت الثورة الزراعية التي مكنت الإنسان من الانتشار وبناء الحضارات المهمة. ولم يخل هذا العصر من فترات جفاف وأخرى رطبة وباردة متكررة أثرت في معيشة الإنسان في العديد من بقاع الأرض وسببت العديد من الهجرات في التاريخ ، ويمكننا أن تذكر في هذا ألسدد بعض من تلك الحالات منها :

أن ألسحراء الكبرى في شمال أفريقيا بمساحتها ألبالغة (9.84) مليون كيلومتر مربع وأمتدادها في شبه الجزيرة العربية ألبالغة مساحتها (1.9) مليون كيلومتر مربع شهدتا قبل (10500) سنة فترة من المناخ ألسحب الذي حولهما ألى جنة من ألسهول ألعشبية وأحراج ألسقانا لتعودا ألى ألسجاف وألتصح بعد (500) سنة من ذلك ألتاريخ بسبب تغير مناخي أآرنحو ألسجاف(4)(5)(6).

كما يُذكر في هذا ألقام ما بينته أحدى ألدراسات بأن ألسجاف ألسا كان وراء هجرة ألسومريين من موطنهم ألسلي في تركمانستان (!) وأستيطانهم ضفاف نهر ألفرات وألاهوار في جنوب ألعراق حيث ألسناخ ألسعتدل وألمياه ألسفيرة قبل (4000) سنة قبل ألسيلاد(7). و تذكر ألدراسة ألسا بأن هذا ألامر قد تأكد من خلال ألاكشافات ألكيولوجية في أثار مدينتي (كونور) وواحة (أنلو) في حوض نهر مرغاب ألسي كشفت عن حضارة سومرية هناك أمتازت بزراعتها ألسروائية(8) ، كما أكدت دراسة قام بها ألعالم ألسوسي (أناتولي كليوسوف) ألسمتخصص بعلم ألسناسب ألسجينية وألحمض ألسنوي ألسجامع بين علوم ألاحياء وألأنثروبولوجي وألأثار بما يُعتقد بأن ألسنس ألسشري نوع (R1B) من ألسامي كروموسومات

ألحامض ألنووي الأحادية (Y) ومنهم السومريون وصلوا إلى تركمانستان في الأصل من جنوب سيبيريا في أواسط آسيا حيث حصل العديد من الهجرات في الفترة من (10000) إلى (8000) سنة من الآن بسبب حلول موجة باردة جدا في مناطقهم الأصلية. ويؤكد هذا الأمر تأثير التغير المناخي في حياة البشر وهجراتهم عبر التاريخ (9).

ولا يخفى على المطلعين من المؤرخين بأن العديد من الأمبراطوريات القديمة أنهارت أيضا بسبب الجفاف والمجاعات التي نجمت عنه. ولعل من المناسب أن نذكر أن انهيار الأمبراطورية الآشورية أحدى أقدم أمبراطوريات العالم القديم في الشرق الأوسط كان بسبب موجة جفاف قاسية استمرت لعدة سنوات متتالية بدأت في عام (657) قبل الميلاد وأدت إلى أضعافها وانهيارها الكامل في (609-611) قبل الميلاد (الشكل 3)(10).



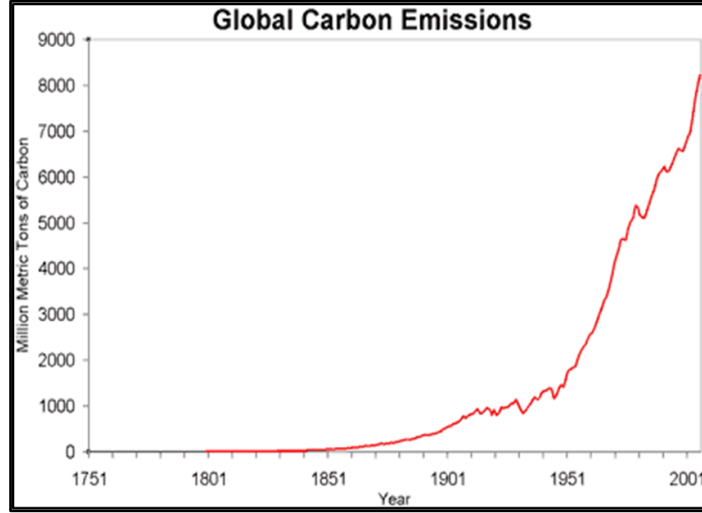
الشكل 3: التسلسل الزمني لأحداث مهمة في تاريخ الأمبراطورية الآشورية مقرونة مع مسارات تغير المناخ خلال الفترة المؤشرة منذ عام 650 ق.م لغاية سقوطها في 609 عام ق.م وقد استخلصت تلك المسارات من خلال المؤشرات المناخية المسجلة عبر تطورات تاريخية لبعض البحيرات والأنهار (10).

لقد كانت كافة تغيرات المناخ العالمية خلال كافة العصور المنصرمة تعود لأسباب طبيعية لم يتدخل الإنسان بها إلا في نطاق محدود جدا لم ينعكس بصورة واضحة على تغيرات المناخ ولربما قليلا للغاية بسبب التوسع في زراعة الرز في جنوب شرق آسيا ، حيث أن من المعلوم بأن الماء في احواض الرز يمنع نفوذ الأوكسجين إلى داخل التربة مما يخلق بيئة جيدة للبكتريا اللاهوائية لكي تُكوّن غاز الميثان من تفسخ المواد العضوية وهو أحد الغازات المساهمة بالاحتباس الحراري إلى جانب غاز ثاني أوكسيد الكربون.

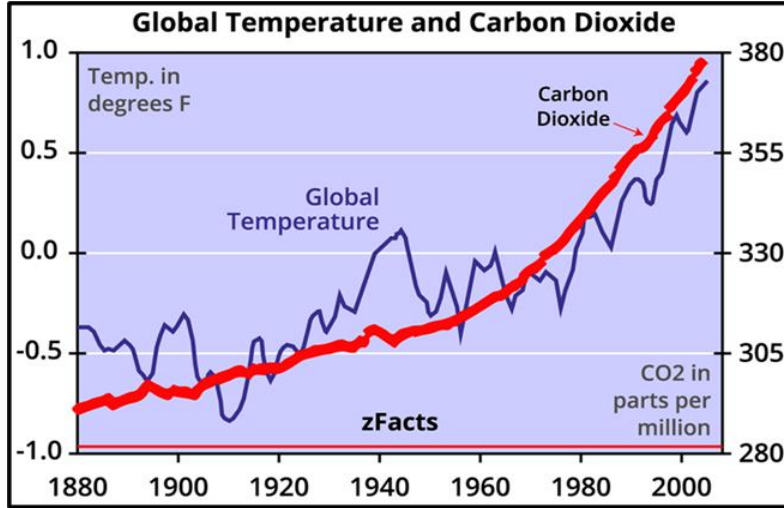
إن من الثابت الآن وبما لا يقبل الشك بأن تغير المناخ العالمي الحالي إنما هو نتيجة لأزداد تركيز غاز ثاني أوكسيد الكربون وبخار الماء مع عدد آخر من الغازات بنسب أقل في طبقة التروپوسفير (troposphere) من الغلاف الجوي للأرض حيث تعمل هذه الغازات التي أطلق عليها العلماء "غازات ألبيت ألزجحي" أي (Green House Gases-GHG)<sup>(11)</sup> على حبس جزءا كبيرا من أشعة الشمس بعد انعكاسها من على سطح الأرض وبالتالي تسبب في زيادة درجة حرارة الأرض نفسها بضمنها البحار والمحيطات واليابسة والغلاف الجوي نفسه . لقد بدأت نسب هذه الغازات بالزيادة نتيجة لحرق الوقود الأحفوري المتمثل بالفحم الحجري بعد اختراع المحرك البخاري في عام (1760) وبداية النهضة الصناعية ، وتزايد هذا الاستعمال في محركات قاطرات سكك الحديد التي أخذت بالانتشار بصورة واسعة في أوروبا وشمال أمريكا ولاحقا في آسيا بعد عقدين من الزمن، وكذلك في المصانع وغيرها من الأغراض التطبيقية ، فكان أن ازداد تأثير غاز ثاني أوكسيد الكربون وبقية الغازات المصاحبة وظهرت أولى بوادره السلبية في عام (1830) بارتفاع محسوس في درجات الحرارة في بعض بقاع العالم وخاصة المحيطات في المنطقة الاستوائية وفي المناطق المنجمدة وتبعتهما أوروبا وشمال أمريكا.

وتجدر الإشارة إلى أن معدل درجة حرارة الأرض قبل بداية الثورة الصناعية كانت بحدود (12) درجة مئوية ازداد إلى (13.8) درجة مئوية في عام (1880) لكنه قفز إلى (14.4) درجة مئوية في عام (2015) ، وبالتالي فإن معدل زيادة درجة حرارة الأرض ازداد بمقدار (50) ضعف عن معدله قبل (21000) سنة ، ولا غرابة في ذلك فإن الزيادة في كميات غاز ثاني أوكسيد الكربون المطلقة إلى الجو ازدادت من كميات ضئيلة للغاية في عام (1751) لتصل (900) مليون طن في (2001) <sup>(12)</sup> كما في

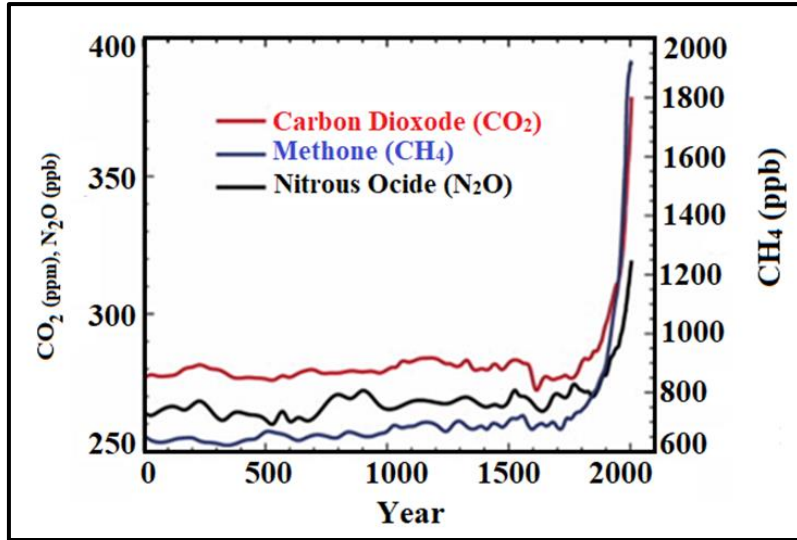
(الشكل 4) ووصل تركيز غاز ثاني أوكسيد الكربون في الغلاف الجوي إلى (380) جزء بالمليون في عام(2015) ، ويوضح (الشكل 5)(13) مقدار الزيادة منذ عام (1880) وحتى الآن . أما تراكم غازات البيت الزجاجي الأخرى بالإضافة إلى غاز ثاني أوكسيد الكربون وهي غازي ثاني أوكسيد النيتروجين والميثان فقد ازادت بنسب عالية جدا خلال (2000) سنة الماضية أيضا (الشكل 6) (14).



الشكل 4: انبعاثات غاز ثاني أوكسيد الكربون (بالطن) منذ بداية الثورة الصناعية ولغاية عام (2001) (12)



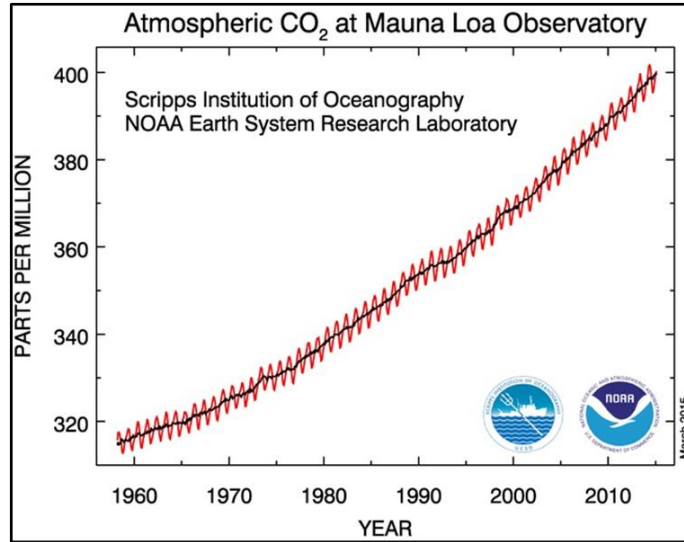
الشكل 5. الزيادة بمعدل درجة حرارة الأرض (فهرنهايت) مع تزايد تركيز غاز ثاني أوكسيد الكربون (جزء بالمليون) منذ عام (1880) لغاية عام (2015) (13) .



الشكل 6: تغير نسب غازات البيت الزجاجي في الغلاف الجوي للأرض منذ (2000) سنة لحد الآن (14) .

لقد كان أول من نبه إلى العلاقة بين حرق الوقود الأحفوري وما ينجم عنه من إطلاق غاز ثاني أكسيد الكربون ويسبب في حصول تأثير البيت الزجاجي في الغلاف الجوي للأرض هو العالم السويدي زفانتي أرهينيوس (Svante Arrhenius) غير أن العديد من العلماء شككوا في نظريته حتى تم إثباتها بصورة قاطعة على يد العالم الأمريكي تشارلز كيلينغ (Charles Keeling) من خلال سلسلة قياسات وتحليلات باستخدام أجهزة شديدة الدقة لقياس الأشعاعات طويلة الموجات أجراها في مرصد (هاواي مونا- لاو) (Hawaii Mauna- Lao Observatory) منذ عام 1958 وحتى عام 2000 ونشر بياناته من خلال معهد سكريبس لعلوم المحيطات في كاليفورنيا (Scripps Institute of Oceanography) الذي كان يعمل فيه فكان تركيز غاز ثاني أكسيد الكربون قد وصل إلى 315 جزء بالمليون عام 2000 ولازال مستمرا بالارتفاع بصورة مضطربة فبلغ 385 جزء بالمليون عام 2015، أما تركيزه في أيار 2022 فقد وصل إلى 421.37 جزء بالمليون .

ويبين (الشكل 7) منحنى (كيلينغ) الشهير الذي وضع الأساس العلمي الثابت لعلاقة زيادة تركيز هذا الغاز في الغلاف الجوي مع تغير المناخ والاحتراز العالمي (15) .



الشكل 7: منحني كيلنغ الذي يبين الزيادة بتركيز  $CO_2$  في الغلاف الجوي منذ عام 1958 لغاية عام 2015 (15) .

من هذا المنحني نرى أن معدل تزايد تركيز غاز ثاني أوكسيد الكربون في تصاعد مستمر أما الارتفاعات والانخفاضات الموسمية في المنحني فمهي إلا تغيرات موسمية نتيجة اختلاف نسب الغاز بسبب اختلاف النشاطات الزراعية صيفا وشتاء خلال السنة الواحدة .

ولو عدنا مرة أخرى إلى (الشكل 5) يمكننا القول بكل ثقة أن معدل الزيادة الحادة جدا في نسب الغاز المتحرر قد بدأت في منتصف الخمسينات من القرن المنصرم ، وهذا بدوره يعزى إلى الانفجار الهائل في استعمال الوقود الأحفوري المتمثل بالبترول ومشتقاته في وسائل النقل المختلفة وفي المحطات الحرارية لتوليد الطاقة الكهربائية والمصانع ، وهو ما أشر بداية عصر الأنثروبوسين ( Anthrpocene Age ) أي عصر تدخل الإنسان الكثيف بعوامل المناخ الذي نمر به الآن والمتوقع استمراره لفترة طويلة قادمة في المستقبل ، ما لم يتم ضبط انبعاثات غازات البيت الزجاجي وتقليلها إلى مستوى الصفر ، وهو ما تسعى الدول الصناعية الكبرى عمله الآن ومن أجله عُقدت الاتفاقيات الدولية وأخرها اتفاقية باريس لعام 2016 ، أو ربما وقوع ظواهر طبيعية عنيفة تشبه تلك التي مرت بالارض سابقا مثل حصول انفجارات بركانية قوية متعاقبة أو سقوط سيل من النيازك المختلفة خلال فترة زمنية قصيرة أو حصول تقلبات في

النشاط الشمسي تؤثر إيجابيا في التغير المناخي وأن كان هذا الأمر هو موضوع خلاف بين العلماء الآن ويحتاج إلى المزيد من البحوث (16).

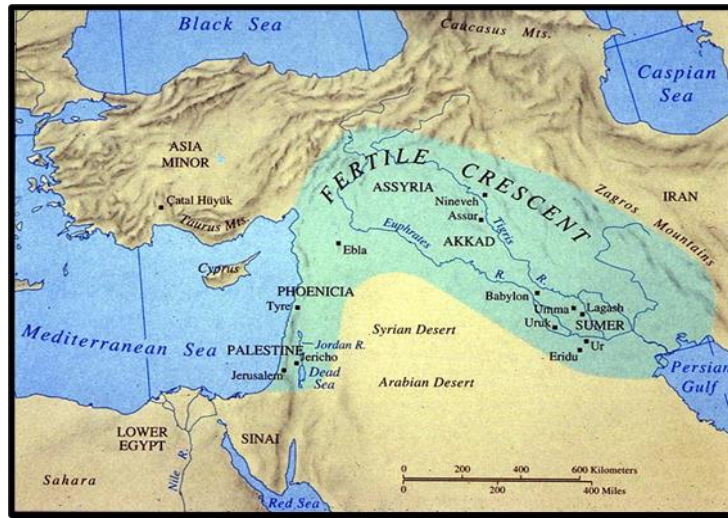
أن حالة الاحتباس الحراري وارتفاع درجات حرارة الأرض الحالية قد أدت إلى تغير مناخ الأرض بصورة عكسية لما كان يُتوقع حصوله من انخفاض درجات الحرارة وحصول فترة بأرودة جديدة بسبب النشاط البركاني العالي الذي حصل على مدى عدة قرون منصرمة من التاريخ القريب ، وأن هذا الشيء يمكن أستنتاجه من سجلات بيئية تمتد إلى فترة 500 سنة الماضية ، ولم تكن تلك التسجيلات مبنية على قياسات ثرمومترية أو بأستخدام الأقمار الصناعية إنما هي مستقاة من تغيرات حصلت في الطبيعة ومرتبطة بالحالة المناخية ، ومنها الأنكماش في الشعاب المرجانية والاختلافات في الحلقات السنوية في جذوع الأشجار وكذلك من سمك وتتابع ترسبات الكهوف والمحيطات والبحيرات إضافة إلى دراسة نتائج فحوصات اللباب المستخرج من حفر الآبار العميقة من جليد غرين لاند حيث أن كل هذه المعلومات تشير إلى أن اتجاه مناخ الأرض كان نحو المزيد من البرودة غير أن وقوع الثورة الصناعية وتزايد النشاط الانساني في تغيير العوامل المناخية حال دون ذلك وعكس مسار عوامل المناخ نحو ما نراه الآن في عصر الأنثروبوسين (17) .

### التغير المناخي المتسارع في الشرق الأوسط وآفاق المستقبل

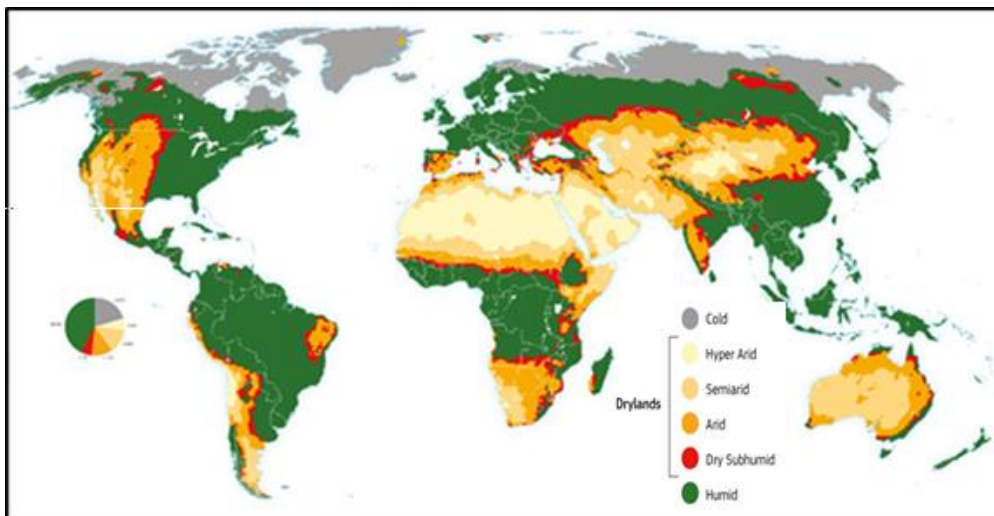
أن المسار الحالي لتأثيرات تغير المناخ العالمي في منطقة الشرق الأوسط وبضمنها العراق يُشير إلى تردي عام في الحالة البيئية ، فما كان يسمى بمنطقة الهلال الخصيب (18) (الشكل 8) أصبح مهدداً بالزوال والاضمحلال وازدياد حدة الجفاف والتصحر فيه ، وأن هذا الاتجاه السالب ما هو إلا نتيجة حتمية للمسببات التي سبق ذكرها . ولا بد هنا أن نؤكد على أن الموقع الجغرافي لهذا الأقليم له أثره الواضح في هذا التردي قياساً إلى أقاليم العالم الأخرى . ويمكن في هذا الرجوع إلى خارطة العالم لتوزيعات الجفاف (Aridity Map) من أجل المقارنة (الشكل 9) ، فقد أعدت هذه الخارطة بعد تصنيف بقاع العالم بحسب مؤشر عُرف بمؤشر الجفاف (Aridity Index- AI) الذي أحتسب من قبل مركز البحوث المشترك

لدول ألاتحاد الأوروبي لفترتين مدة كل واحدة منهما 30 سنة ، الأولى (1951-1980) والثانية (1981- 2010) وذلك من قسمة مجموع معدلات التبخر السنوي من الأسطوح المائية خلال فترة الثلاثين سنة على مجموع معدلات التبخر السنوي من التربة والغطاء النباتي (Evaporation/Evapotranspiration) خلال نفس المدة ، أي :

$$AI = \frac{\sum_{i=1}^{30} \left( \frac{P_i}{PET_i} \right)}{30}$$



الشكل 8: منطقة الهلال الخصيب في الشرق الأوسط (18) .



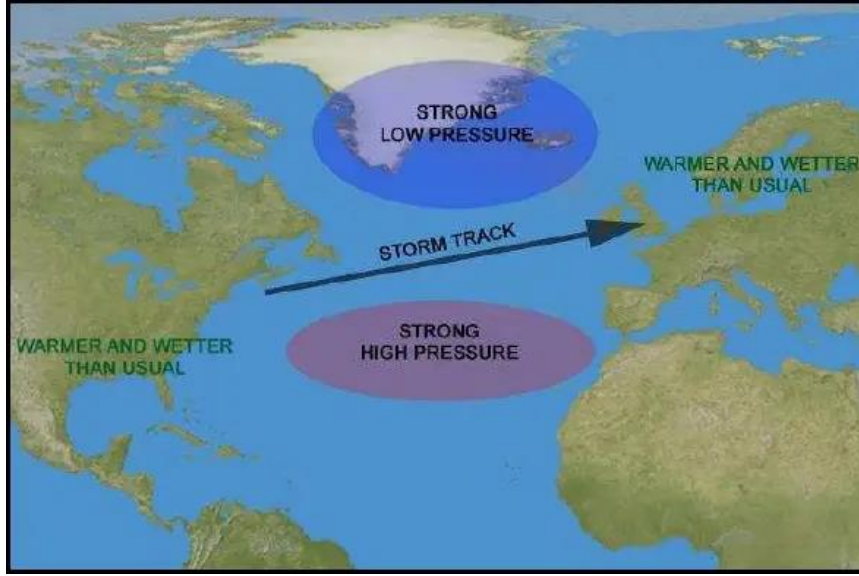
الشكل 9: خارطة توزيع الجفاف في العالم حسب مؤشرات الجفاف (19) .

ويمكن أن تستنتج من هذه الخارطة وبموجب مخرجات احتساب معاملات الجفاف خلال الفترتين اللتين أشرنا إليهما وأستنادا إلى مسار التغير المناخي العالمي بحسب دراسات الهيئة الدولية للتغير المناخي في العالم (IPCC) فإن الأجزاء الجنوبية والوسطى والغربية من العراق إضافة إلى اليمن والأردن والأجزاء الجنوبية الشرقية من المملكة العربية السعودية وجنوب تركيا وأقسام الأعظم من سوريا سوف تتحول من حالة شبه الجفاف (Semi-Arid) إلى الجاف (Arid) ، أما الأجزاء الجافة حاليا في العديد من هذه الأقطار فسوف تصبح صحاري شديدة الجفاف (Hyper Arid)(19) .

تتحكم بالهطول المطري والسقوط الثلجي في الشرق الأوسط عموما وخاصة منطقة شرق البحر الأبيض المتوسط عوامل الطقس السائدة في المنطقة المعتدلة من النصف الشمالي من الكرة الأرضية ، فالصيف يكون جافا مع وقوع زخات مطر أحيانا نتيجة لتغيرات مناخية عامة وشاذة ، أما في أشهر الشتاء من تشرين الثاني لغاية نهاية نيسان فإن الهطول والسقوط يحصلان نتيجة لتيارات الرياح الرطبة التي تهب من الغرب على حوض البحر الأبيض المتوسط وترتبط ارتباطا مباشرا بالتذبذب الدوري الناجم عن التفاوت بالضغط الجوي فوق شمال المحيط الأطلسي بين منطقة آيسلندا في أقصى الشمال وجزر الأزور في الجنوب و مرده التفاوت الأكبر بدرجات الحرارة بين المنطقتين في فصل الشتاء ، وهو ما يعرف بظاهرة التذبذب في شمال المحيط الأطلسي (North Atlantic Oscillation- NAO) ( الشكل 10) . ويسقط المطر أيضا في تشرين الأول وفي أيار نتيجة لهذه الظاهرة وأحيانا كثيرة بتأثير الرياح المندفعة من المنخفض الجوي فوق بحر الأحمر مما يتسبب بوقوع زخات مطر شديدة وفيضانات سريعة وكثير من العواصف الغبارية والأرملية (20)(21)(22) .

لقد أثبتت الأبحاث العلمية ودراسات النمذجة الرياضية لعوامل المناخ (22)(23)(24) بما لا يقبل الشك العلاقة المباشرة بين التذبذب المتمثل بظاهرة (NAO) وهبوب الرياح فوق البحر الأبيض المتوسط ، كما أن المزيد من تحليلات النماذج الرياضية أثبت أيضا بأن مسار هذه الرياح المحملة بالرطوبة قد تحول في الفترة الأخيرة من منطقة حوض البحر الأبيض المتوسط باتجاه الشمال بسبب الاحترار العالمي الناجم

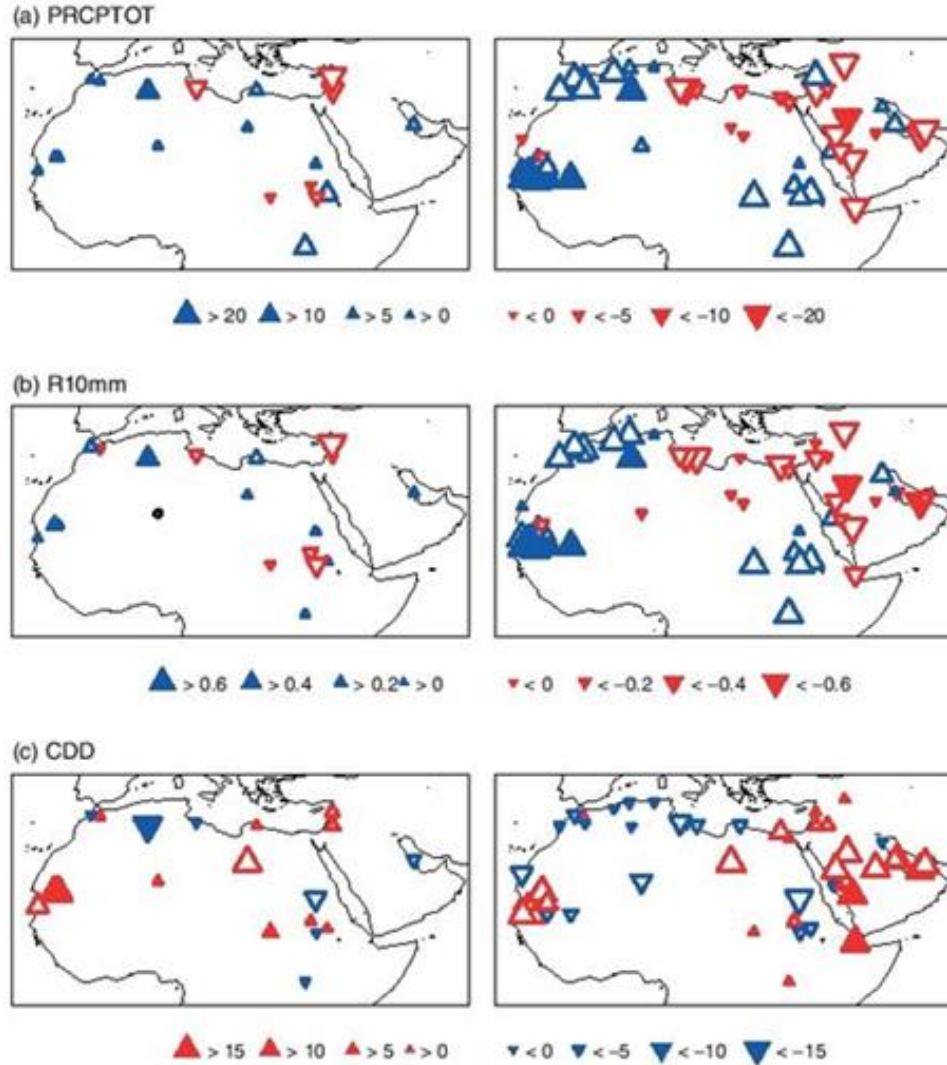
عن زيادة نسب غازات البيت الزجاجي وبالأخص غاز ثاني أوكسيد الكربون ، وأدى هذا إلى انخفاض ما يصل من الرياح المحملة بالرطوبة إلى المنطقة المذكورة وهو ما تؤكد الدراسات الأخيرة (الشكل 10) (23) (24) .



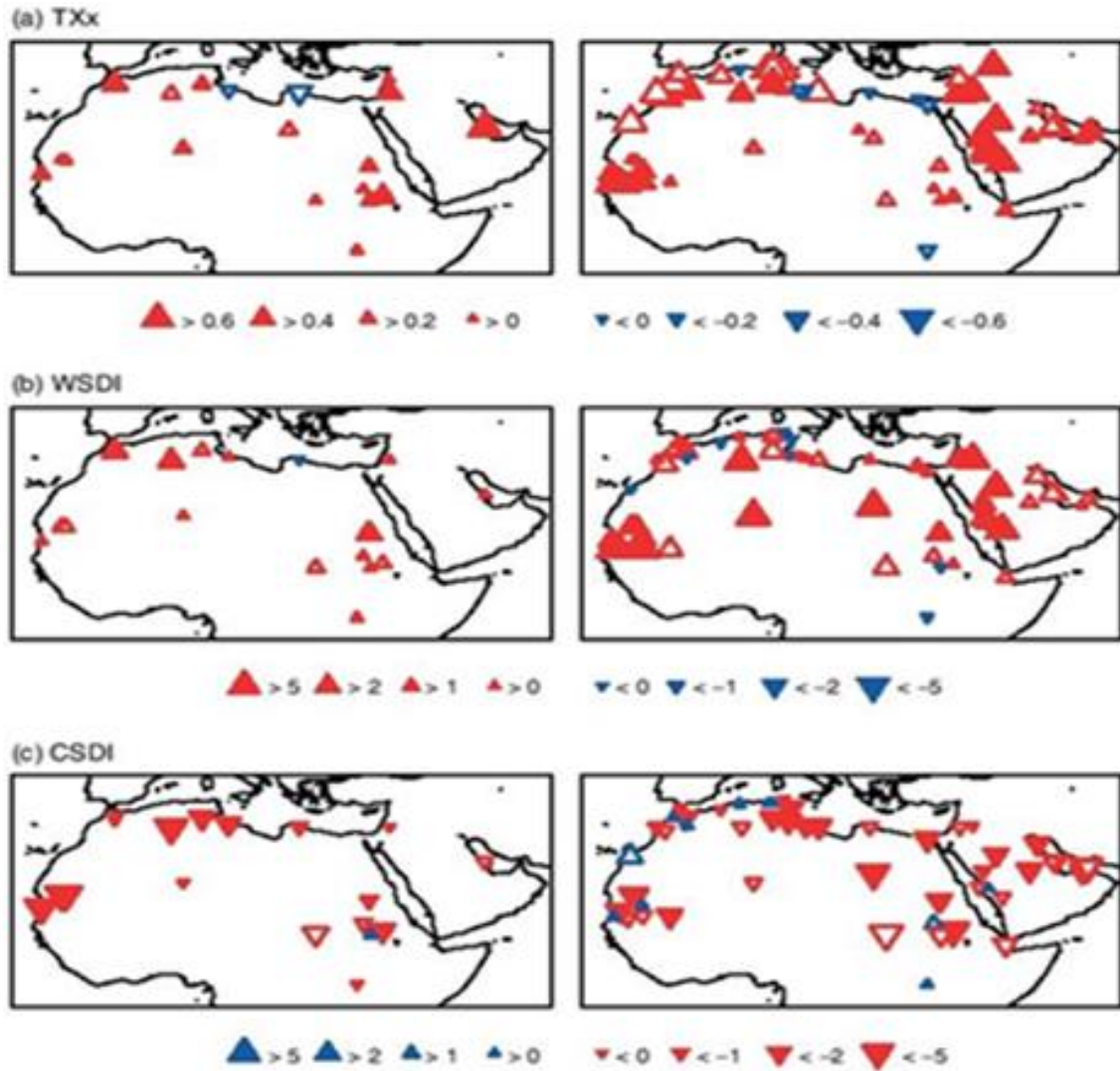
الشكل 10: تأثير التغير الحاصل في مسار الرياح بتأثير التغير في ظاهرة (NAO) (23) .

وبالتالي فإن الملاحظة الرئيسية التي يمكن أستنتاجها من (الشكل 10) هي بأن شمال أوروبا سيتجه نحو دفء أكبر مع ازدياد الرطوبة فيه بينما سوف ينخفض مقدار الهطول على السواحل الجنوبية من أوروبا وعلى منطقة البحر الأبيض المتوسط برمتها وبالأخص المنطقة الشرقية منه التي سوف تكون أكثر جفافاً وكذلك نفس الحال بالنسبة إلى شمال أفريقيا عدا المغرب وموريتانيا اللذين ستزداد الرطوبة فيهما. وتشير كافة الأسقاطات المستقبلية بأستعمال النماذج الرياضية مع السيناريوهات التي أعدتها الهيئة الدولية لتغير المناخ (IPCC) إلى أن هذا الأقليم سوف يتجه إلى المزيد من الاحترار والجفاف في نهاية القرن الحالي خاصة وأن هذه النمذجة كانت قد أشارت إلى نفس نمط التغير السالب الأنف الذكر الذي حصل خلال الفترة (1970-2010). كما بينت مخرجات إحدى الدراسات تلك بأن معدل الكمية الكلية من الهطول السنوي (PRECPTOT) خلال الأيام الرطبة من السنة التي يتجاوز فيها الهطول (10) (مليمتر R10mm) سوف ينخفض بدرجة كبيرة فوق شبه الجزيرة العربية والعراق وسوريا وجنوب

تركيا وغرب إيران وكذلك مصر وليبيا ، بينما سيكون هناك زيادة في الهطول في كل من المغرب وموريتانيا كما سبق الإشارة إلى ذلك ، لاحظ (الشكل 11) . و أعطت مخرجات أخرى من نفس الدراسة أزيد من درجات الحرارة في كافة الأقطار المشمولة بالدراسة (الشكل 12) (25).



الشكل 11: مؤشرات التغيرات المناخية في منطقة الشرق الأوسط خلال الفترة (1970-2010) ، المثلثات الحمراء المقلوبة نحو الأسفل تشير إلى نقصان في الكميات أما المثلثات الصحيحة فتعني زيادة في الكميات مع ملاحظة أن حجم المثلث يمثل حجم الزيادة أو النقصان النسبي . المخططان في (a) يمثلان الهطول الأعلى السنوي ، في (b) المخططان يمثلان عدد الأيام الرطبة التي يتجاوز الهطول فيها 10 مليمترا ، أما في (c) فيعطيان عدد الأيام الجافة بعد هطول المطر (25) .



الشكل 12: مؤشرات التغيرات المناخية في منطقة الشرق الأوسط خلال الفترة (1970-2010) ، المثلثات الحمراء المقلوبة نحو الأسفل تشير إلى نقصان في الكميات أما المثلثات الصحيحة فتعني زيادة في الكميات مع ملاحظة أن حجم المثلث الواحد يمثل حجم الزيادة أو النقصان النسبي . المخطط في (a) فيؤشر درجات الحرارة العظمى محسوبة بمعدلاتها كل عشرة سنوات ، في (b) عدد أيام موجات البرد محسوبة كل عشرة سنوات ، و في (c) طول فترات أيام موجات البرد محسوبة بعدد الأيام كل عشرة سنوات (25) .

مما تقدم يمكن الجزم بأن منطقة شرق البحر الأبيض المتوسط بضمنها العراق مقبلة على مستقبل غير مطمئن أبدا فيما يتعلق بالمؤشرات المناخية السلبية التي سوف تسود في المنطقة ، ويمكن التأكد من صحة هذا الاستنتاج من التحليلات الإحصائية لنتائج الدراسة المشار إليها أعلاه واستخراج السلاسل الزمنية (Time Series) للمتغيرات واسقاطاتها على الفترة الزمنية المقبلة (25) .

## تزايد فترات الجفاف ومساحات التصحر مع شحة الموارد المائية السطحية في العراق

يعتبر العراق أحد أسوأ أقطار العالم من حيث تصاعد تكرارات موجات الجفاف وازدياد فتراتها فيه خلال العقود الأخيرة بسبب شح الموارد المائية المصحوب بزيادة درجات الحرارة . و كشفت دراسة حديثة لوكالة الفضاء الأمريكية (NASA) بأن الجفاف الذي ضرب إقليم شرق البحر الأبيض المتوسط منذ عام 1998 ربما هو الأسوأ منذ 900 سنة وحتى الآن وأن من المحتمل جدا بأن السبب في ذلك هو التدخل البشري المباشر في تغيير عوامل المناخ . لذلك فأن فترات الجفاف المتكررة هذه سوف تصبح من الأمور الاعتيادية جدا في عالم تزداد حرارته بصورة مضطربة<sup>(26)</sup> . وهناك أيضا من المؤشرات ما يفيد بأن النهرين الرئيسيين في الإقليم أي دجلة والفرات سوف يعانيان من نقص شديد في معدلات تصاريهما الطبيعية السنوية بحلول عام 2040 و أن معدلات الهطول المطري المتناقص منذ عام 2020 في كل من سوريا والعراق قد ساهمت في الجفاف الشديد الذي حصل مؤخرا في مساحات واسعة من الأراضي الزراعية وأدى إلى النقص الحاد بالمياه المستعملة في مصائد الأسماك وتوليد الطاقة الكهربائية ومياه الشرب مهددة بذلك حياة الملايين من البشر.

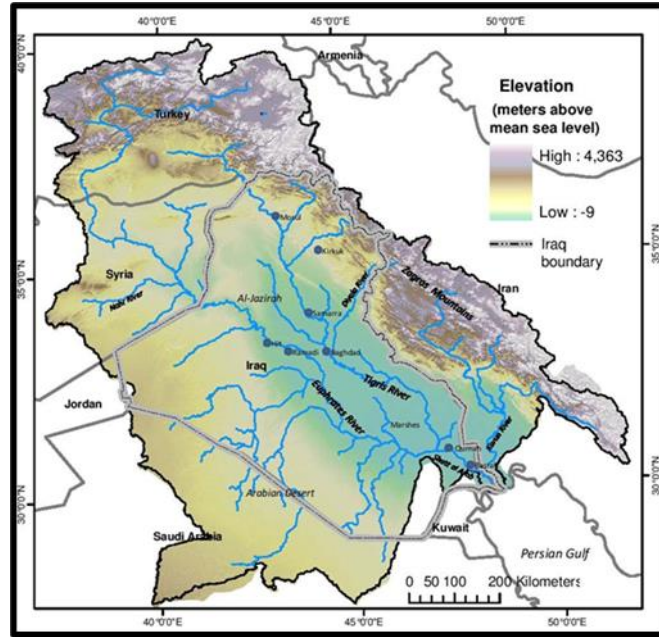
وتشير دراسة صادرة عن الأمم المتحدة بأن كافة التوقعات الحالية تنبئ بتصاعد مستمر في درجات الحرارة في حوض البحر الأبيض المتوسط في السنوات القادمة وأن شحة المياه وحالات الطقس المتطرف المؤدية إلى الجفاف سوف تصبح أكثر قسوة وتكرارا<sup>(27)</sup>.

لقد عانى العراق من حالة الجفاف هذه بدرجة كبيرة فأزدادت المساحات القاحلة والمتصحرة بسبب النقص في الهطول المطري وتناقص تصاريح نهري دجلة والفرات وأستنزاف موارد المياه الجوفية بالإضافة إلى زيادة الملوحة في مياه الأنهار وفي الأراضي الزراعية ، وأدى هذا بالمحصلة إلى تخلي قسم كبير من الفلاحين عن أراضيهم وتقلص مساحات المراعي مع انخفاض ملحوظ في إنتاجية المحاصيل ، وبالتالي أنخفض مجمل المساحة المستثمرة في القطر من 12.2% إلى 8.3% من مساحته الكلية<sup>(28)</sup> .

وعند تقصي موضوع التناقص المستمر بموارد نهري دجلة وأفرات يتضح وجود عاملين مهمين الأول يتمثل بأنخفاض الهطول المطري والسقيط الثلجي على حوضي تغذيتهما في تركيا وإيران والناجم عن تغير المناخ كما أشرنا سابقا ، أما الثاني الذي لا يقل أهمية فهو تلاعب دول الجوار المنتشطنة مع العراق في موارد هذين النهرين وروافدهما وأقتطاع حصص مائية مجحفة لأغراض التوسع في المشاريع الزراعية ، إما ببناء السدود العديدة من قبل هاتين الدولتين أو لأنشاء مشاريع أروائية جديدة كبيرة ، وكذلك تحويل المياه من حوض الى آخر كما فعلت إيران بتحويلها مياه نهر الكارون الى مشاريع نهر بهمشير وغيره من المشاريع الأروائية الجديدة في منطقة اصفهان والتسبب بزيادة ملحوظة شط العرب وألقضاء على ما تبقى من بساتين النخيل في تلك المنطقة ز وأخيرا وليس أخرا السيطرة على معظم موارد نهري دىالى وألزاب الأسفل وتحويلها الى مناطق في كرمنشاه ، كل ذلك خلافا لقوانين المياه الدولية.

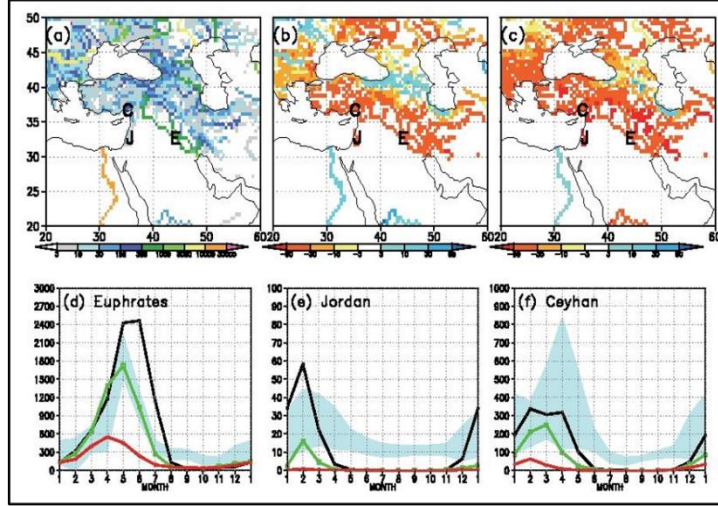
ويزيد تأثير التغير المناخي السلبي من حدة المشكلة ، فأن حالة الجفاف التي تسود هذين البلدين حالهما في ذلك حال العراق قد زادت من تلاعبهما بحصص العراق المائية في محاولة لسد بعض من العجز الحاصل لديهما ضاربين بعرض الحائط بقاعدة تقاسم الضرر التي تنص عليها المادة السابعة من معاهدة قانون استخدامات مجاري المياه الدولية لغير الأغراض الملاحية لعام 1997<sup>(29)</sup> .

وهكذا شهدت منطقتي تغذية نهري دجلة وأفرات المبيتين في (الشكل 13) أنخفاض مشهود في المعدلات السنوية للهطول عليهما بتأثير مباشر لتغيرات المناخ السلبية مما ظهر مباشرة في التناقص الحاد بمعدلات واردات النهرين المائية. ويتبين من تحليل قواعد البيانات المناخية للفترة (1901-2006) وأسقاطاتها المستقبلية حتى نهاية القرن الحادي والعشرون بأستعمال النماذج الرياضية بأن الزيادة في درجات الحرارة للفترة (2010-2039) في المنطقة تتراوح بين (1-3) درجات مئوية و (3-5) درجات مئوية للفترة (2040-2069) و (3.5 – 7) درجات مئوية للفترة (2079-2099) . أما التناقص بكميات الهطول السنوي فتشير بأن التناقص سيكون بحدود (5% - 30%)<sup>(30)</sup> <sup>(31)</sup> .

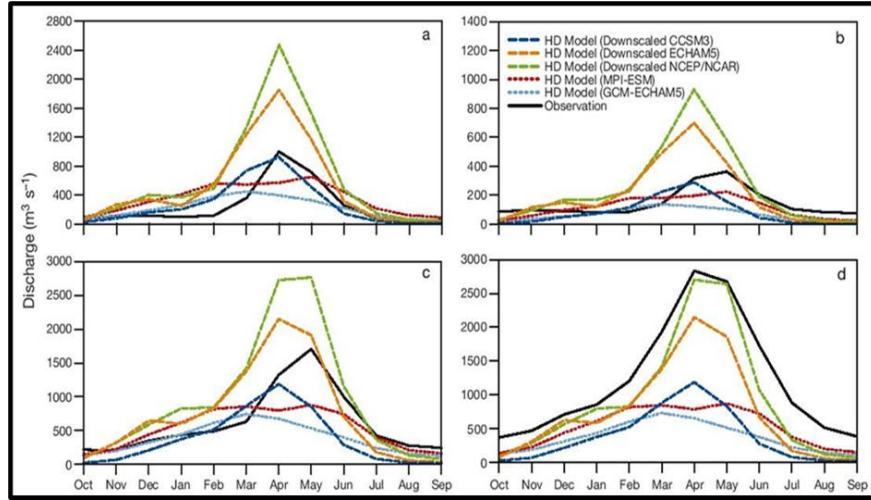


. (30) الشكل 13: حوض التّغذية لنهري دجلة وأفّرات

وبينت دراسة أخرى أُستعمل فيها نموذج رياضي للمناخ العالمي وتأثيره المُستقبلي على جريان الانهار في الأقليم بأن الجريان السنوي لنهر أفّرات ومثله نهر دجلة سينخفضان بمقدار (29% - 73%) في نهاية القرن الحالي وكما هو واضح من (الشكل 14) الذي يعطي أيضا نتائج نهر الأردن ونهرسيحان في تركيا(32) . أما دراسة ثالثة لمعرفة التّغيرات التي حصلت على تصاريّف دجلة وأفّرات في الماضي فقد بينت مخرجاتها أنخفاض الجريان السنوي في كل من نهري دجلة وأفّرات بنسب تراوحت بين (19%) و(58%) خلال الفترة (1961- 1990) (الشكل 15) (33) . وقد أُستخدمت في الدراسة المذكورة البيانات الهيدرولوجية للفترة (1961- 1990) لمحطتي رصد تصاريّف نهر أفّرات في تركيا وهي كل من محطة يالو ومحطة بكشتاش ، أما في العراق فقد أُستعملت بيانات سدة الهندية بالنسبة لنهر أفّرات ومحطة تصاريّف نهر دجلة في بغداد . كما أعتمدت عدة نماذج رياضية لحركة أليّاح ألعامة ( General Circulation Models- GCMS) لأشتقاق ومعايرة نموذج هيدوليكي نوع (HD Max Plank) ، (الشكل 15) (33) .



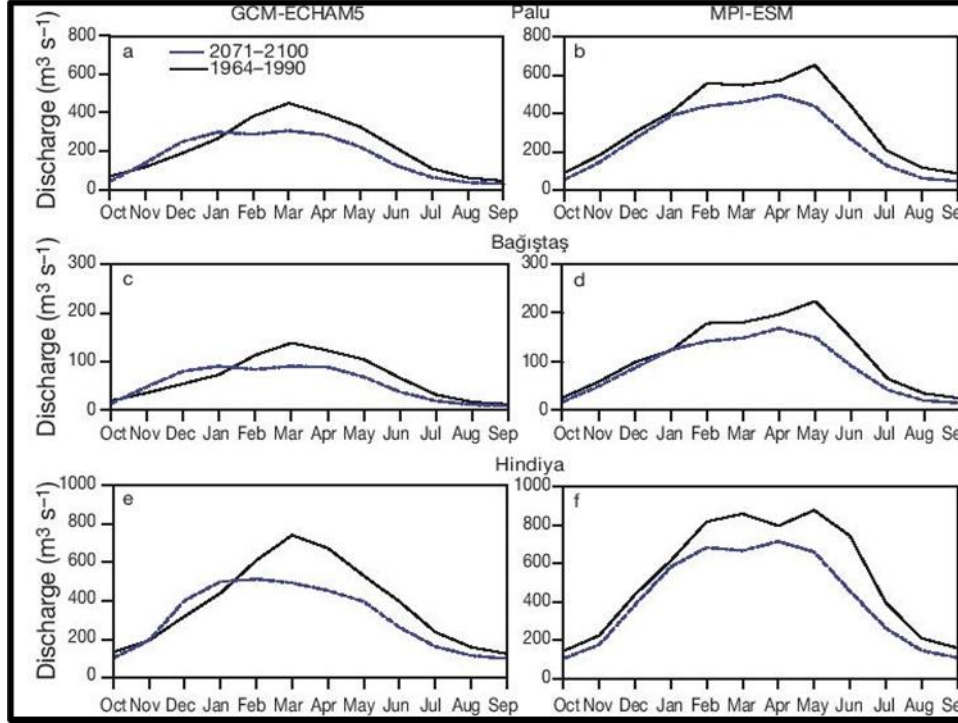
الشكل 14: (a-c) نتائج محاكاة التصارييف السنوية لأنهار الفرات والأردن وسيحون ، (d-f) الهيدروكرافات الشهرية للأنهار الثلاثة ، المساحة المظللة بالأزرق تمثل التغيرات الهيدرولوجية المرصودة والمسجلة لدى المركز العالمي لتصارييف الأنهار في كوبلنز- ألمانيا (GRDC) زاندا أو ناقص أنحراف معياري واحد وذلك في محطات سدة الهندية لنهر الفرات ومحطة ميسي لنهر سيحون ومن مصادر خاصة لنهر الأردن (31).



الشكل 15: المعدلات الشهرية للتصارييف في (a) محطة يالو ، و (b) ومحطة بكشتاش ، وسدة الهندية (c) محطة سدة الهندية و (d) محطة بغداد وفيها تُمثل المنحنيات الملونة هيدروكرافات هذه التصارييف حسب نتائج نماذج حركة الرياح الستة المستعملة مع استخدام البيانات للفترة 1961-1990 (32).

ويلاحظ بأنه على الرغم من التفاوت في شكل الهيدروكرافات في (الشكل 15) الذي مرده تفاوت حساسية النماذج المختلفة بالنسبة للمدخلات إلا أن التراجع بالتصارييف الشهرية للنهرين واضح أشد الوضوح مما يعني النقصان في التصارييف السنوية ايضا. أما بالنسبة للتنبؤ بمستقبل النهرين فأن أسقاطات النماذج

ألرياضية للفترة (2071- 2100) حسب نفس الدراسة بينت أنخفاض متزايد في المستقبل أيضا وكما هو واضح من (الشكل 16).



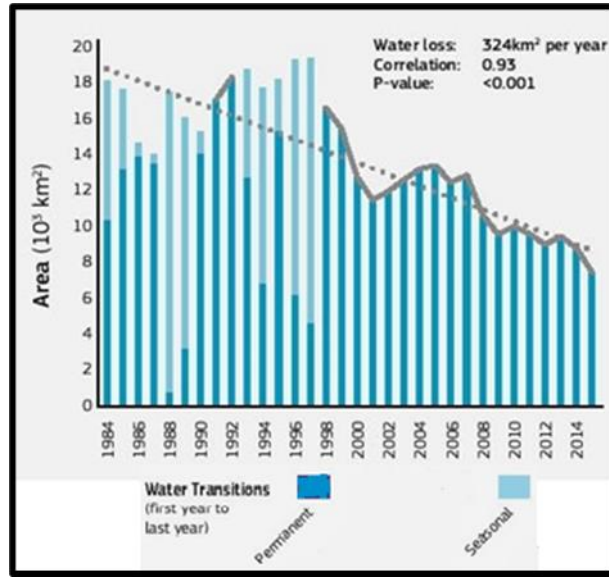
الشكل 16: الانخفاض الواضح في هيدروكراف التصريف الشهري لنهر الفرات في الفترة المستقبلية (2100- 2071) نسبة إلى التصريف في الفترة (1969- 1990) وبأستخدام نموذجين مختلفين لكل من محطات پالو كما في (a) و (b) ومحطة بكشتاش كما في (c) و(d) ومحطة سدة ألهندية كما في (e) و(f) (33) .

مما تقدم يتبين أن تغير المناخ السلبي له تأثير مضاعف على حصول الجفاف في منطقة شرق البحر الأبيض المتوسط غير أنه لا يمكن الاستهانة بموضوع تحويل مجاري الأنهار هو الآخر حيث أنه يزيد من حجم الكارثة المناخية في العراق على وجه التحديد.

وحذرت دراسة حديثة للأمم المتحدة بأن كل المؤشرات الحالية تشير بأن الجفاف ذو التكرار (1:100) سنة سيزداد تكراره عشرة أضعاف في المستقبل المنظور في إقليم شرق البحر الأبيض المتوسط وشمال أفريقيا ولا يشمل ذلك المغرب وموريتانيا حيث أن تكراره سوف يقل عن الوضع الحالي (34) .

## أنخفاض مساحات المسطحات المائية في العراق بسبب التغيرات المناخية السلبية

تعاني المسطحات المائية في العديد من مناطق العالم من الانخفاض في مساحتها بسبب التغير المناخي السائد الآن إضافة إلى أسباب أخرى ترجع إلى تدخل الإنسان نفسه . وتشير الدراسات والتقارير على أن حوالي 70% من هذه الخسارة في مساحات هذه المسطحات حصلت في خمسة بلدان فقط هي إيران، أفغانستان، العراق، كازاخستان وأوزبكستان وعلى مدى ثلاثة عقود الماضية ولحد الآن وتتنوع بنسب متفاوتة ، منها 56% في أفغانستان و 54% في إيران و 34% في العراق، ويبين (الشكل 17) معدل الخسارة السنوية في مساحة المسطحات المائية في إيران ، وأفغانستان ، والعراق للفترة (1984- 2015) و يبلغ 324 كيلومتر مربع سنويا (35).



الشكل 17: معدل الخسارة السنوية في مساحة المسطحات المائية في إيران وأفغانستان والعراق

خلال الفترة (1984- 2015) (35).

ويمكن القول بأن التغير المناخي العالمي وحالة الجفاف المتزايدة قد سرعتا من هذا التغير البيئي ، إلا أنه يجب الاعتراف أيضا بأن هنالك عوامل أخرى ساهمت في هذا الأمر منها الاستخدام الجائر للمياه وعدم السيطرة التامة على إطلاقاتها من خزانات السدود التي غيرت معدلات تصريف الأنهار وحولت مجاريها في بعض الحالات. ولهذه الأسباب فإن الموضوع هو مثار قلق متزايد في العديد من البلدان

لمساسه بأمنها المائي خاصة في ادره ألمياه المشتركة مع جيرانها ، وكذلك تأثيره البالغ على الإنتاج الزراعي المستدام وبالتالي على الأمن الغذائي والمجتمعي.

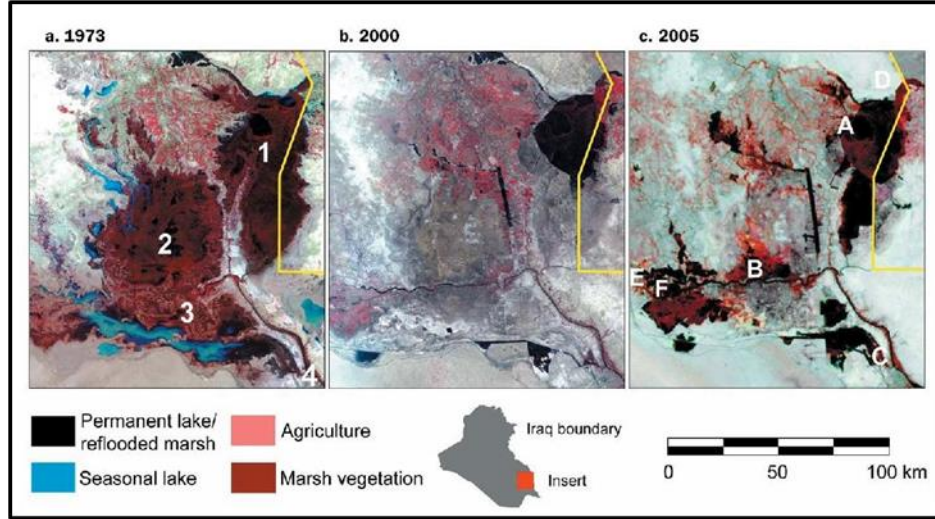
وتتجلى هذه الأمور السلبية بصورة واضحة في العراق في جفاف الأهوار المتزايد وتهديد العديد من المسطحات المائية الأخرى فيه مثل بحيرة الرزازة وبحيرة سلوة والأهوار .

تعتبر الأهوار العراقية إحدى أهم مساحات الأراضي الرطبة في العالم ونظرا لتنوعها الأحيائي وجمال طبيعتها فيها فقد أطلق عليها فيما مضى أسم (جنة عدن) وتم اعتبارها تراثاً عالمياً من قبل منظمة اليونسكو عام 2016 (36) . وتتمثل أهوار العراق بثلاثة مسطحات مائية كبيرة هي كل من هور الحمار والأهوار الوسطى وهور الحويزة المحاذي لإيران وبلغت مساحتها الإجمالية حتى السبعينات من القرن الماضي ما يزيد على 15000 كيلومتر مربع ما لبثت أن تقلصت إلى 10% من مساحتها الأصلية بسبب سياسة تجفيف الأهوار الحكومية في عقدي الثمانينات والتسعينات من جهة وأنحسار مياه نهر الكرخة عن هور الحويزة بعد أن حولت إيران مجراه بالكامل إلى داخل أراضيها من الجهة الثانية. ولقد جرت محاولات حثيثة لإعادة الأهوار إلى مساحتها الأصلية بعد تغيير نظام الحكم في العراق في عام 2003 غير أن بدايات حالة الجفاف في المنطقة أضافت إلى تقليص واردات نهري دجلة والفرات بسبب بناء تركيا للعديد من السدود على مجريهما وعدم وجود اتفاقية لتقاسم المياه بين العراق وبينها حالا دون هذا الأمر .

كما شهدت البلاد أفسى حالات الجفاف في شتائي عامي 2007 و2008 بحسب خبراء منظمة الأمم المتحدة للبيئة مما قلص موارد النهرين من المياه بدرجة كبيرة فلم تُفلح محاولات إحياء الأهوار إلى المساحات المقررة (37) ، وبالتالي فإن هذه التطورات يمكن ملاحظتها بصورة جلية في (الشكل 18) (38).

وتجدر الإشارة بأن إطلاقات المياه إلى الأهوار خلال الفترة منذ عام 2016 وحتى عام 2018 كانت في معظمها على حساب المياه المقتطعة من الحصص المائية المخصصة للمشاريع الأروائية مما جعل تلك المشاريع مهددة بالانهيار وألحقت الضرر البالغ بالمزارعين ، وعليه نعتقد بأن قرارات وزارة الموارد

ألمائية أخاصة بتلك أطلاقات خلال تلك أفترة كانت خاطئة وكان عليها أن تدرك عدم أمكانية ذلك في ضوء الوضع المناخي وألمائي السائد .



الشكل 18: صور فضائية من القمرين الصناعيين Landsat 1 و Landsat 7 للآهوار أجنوبية في ألعراق .

(a) في عام 1973، (b) في عام 2000، و (c) في عام 2005. (38).

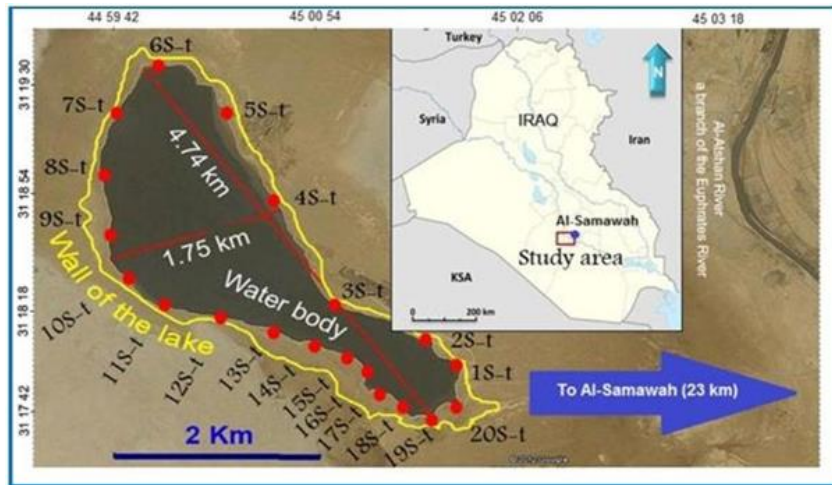
وتشير أحدى أأدراسات أأرصينة أأتي أأتمدت أأرسة مؤشر أأفرق في أأطاء أأنباتي أأعدل (Normalized Vegetation Difference Index- NDV1) بأأأعمال أأقنيات أأأأسس أأأائي وأأأأعانة بأصور أأأقمار أأصناعية أأى أأصول أأدهور أأبير في أأأألة أأنباتية أأعضوية لأهوار ألعراق أأى أأى أأأ فترات زمنية أأأأأها أأأرسة أأى ( 1982 - 1992 ) و ( 1993 - 2003 ) و ( 2004 - 2017 ) وأن أأأأصان في هور أأأمار في أأأأرة أأأأرة أأى أأأأرة أأأى ما أأأأه (68%) و ( 98.73 %) في أأأوار أأوسطى و (83.71%) في هور أأأيزة . وأأ صاحب أألك أأدهور في واردة أأهر أأأأة من أأعدل أأأوي أأأرب من 2500 أأر أأأب / أأأية أأى 500 أأأى أأر أأأب / أأأية وأنأأأأ أأعدل أأأوي لأأر أأأرات أأأرات من ما أأأرب 1500 أأر أأأب / أأأية أأى أأل من 500 أأر أأأب / أأأية أأأأأ (39) . و أأأم في أأأ أأأهور عوامأ أأأير أأأأ و أأى أأأأأ أأأأ أأأأرة وأنأأأأ أأأأول أأأري أأى عموماً أأأأأ بأأأأأة أأى أأعان أول أأأوار في أأب أأأاه عن ألعراق.

أن ألتدهور أالحاصل في ألبنية ألهشة للاحوار ألعراقية جعلها تتحول ألى مناطق طاردة للسكان أالذين عاشوا فيها لعشرات ألاجيال بعد أن وجدوا أن أالحياة فيها أصبحت شبه مستحيلة (40).

وفي محصلة نهائية قدمتها دراسة جديدة أستخدمت صور أالاقمار أالصناعية تبين أن مساحة أالاهوار أالاجمالية خلال ألفترة (1972- 2000) قد فقدت نسبة (79%) عن مساحتها أالاصلية لتبلغ 1877 كيلومتر مربع فقط بينما لم يكن أبالامكان أالوصول أألمساحة إلا أالى 2012 كيلومتر مربع خلال ألفترة (2000- 2020) (41).

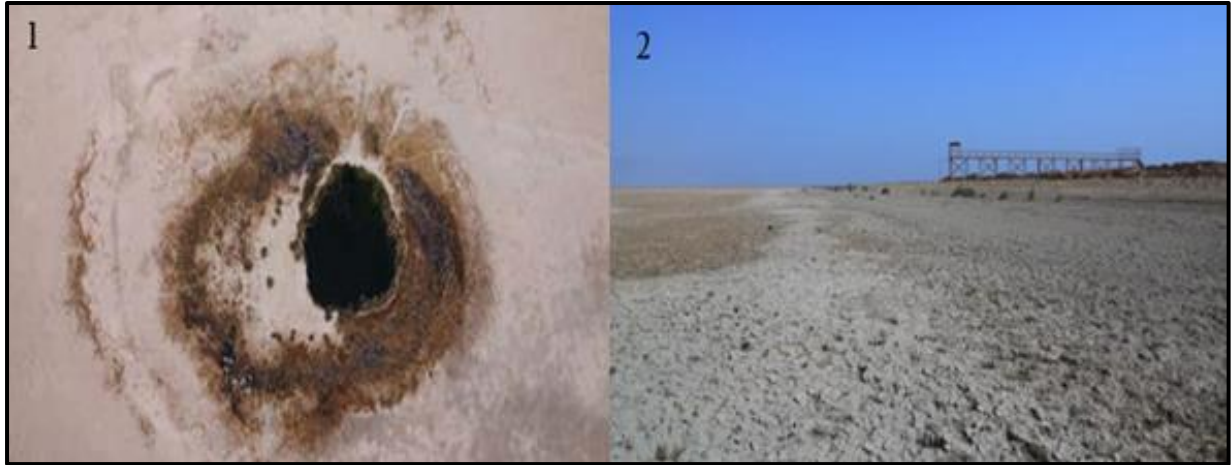
أستنادا الى كل هذه أألتغيرات يضيف تقرير لبعثة الأمم أألمتحدة لمساعدة أالعراق ( UNAMI ) بتاريخ أألول من شباط 2022 بأن موسم 2021- 2022 أألمطري كان أألكثر جفافا منذ 40 سنة مما أأدى أالى زيادة مستوى أألفقر وأألهجرة وعدم أألاستقرار وأألمنازعات . وأن كل هذه أألاخطار سوف تزداد بسبب غياب جهود منسقة وأأرادة سياسية (42) .

لم يقتصر هذا أأالانهيار أألبئي على أأهوار جنوب أالعراق بل تعداه أالى عدد أأخر من أألمسطحات أأالمائية ، ومن أألامثلة أأالبارزة على ذلك بحيرة ساوة أأالواقعة على بعد 23 كيلومتر غرب مدينة أألسماوة (أأشكل 19) (43) .



أأشكل 19: موقع بحيرة ساوة وبعض من تفاصيلها (43).

تعتبر هذه البحيرة فريدة في تفاصيلها وخواصها ومنها ملوحة مياهها العالية جدا ما يجعلها الأكثر ملوحة في كافة البحيرات العراقية . كمتئين التحاليل الكيميائية وفحوصات النظائر المشعة على أن أصلها نيزكي كما أن تغذيتها تتم من ينابيع جوفية أرتوازية تتخلل التشققات ومفاصل الصخور المكونة لقعرها، أما مستوى سطح الماء فيها فيرتفع بمقدار (1-4) متر عن منسوب الأرض الطبيعية حولها وهو أعلى من مستويات الماء في نهر الفرات الذي يجري قريبا منها بمقدار (5-7) متراً . وقد تكونت في ضفاف البحيرة سداد طبيعية نتيجة لتبخر وترسيب الأملاح من مياهها وخاصة الجبس . وبالنظر لكل هذا التفاصيل فقد تم شمولها باتفاقية مسار لحماية الأراضي الرطبة في العالم منذ عام 2014 (44) إلا أن الجفاف الحاد الناجم عن التغير المناخي أدى إلى تقلص مساحة هذه البحيرة تدريجيا خلال السنوات المنصرمة حتى جفت تماما ( الشكل 20) (45) .



الشكل 20: (1) صورة جوية لبحيرة ساوا تبين انخفاض مساحتها على مدى سنوات الجفاف ، (2) صورة التفتت يوم 26 نيسان 2022 من قبل أرشد محود / وكالة الأندلس تبين جفاف البحيرة التام (45) .

أن ما وصلت إليه بحيرة ساوا اليوم يعبر بصورة واضحة عن عمق التغير البيئي الذي حصل نتيجة الجفاف في العراق والذي مرده تغير المناخ وأثاره السلبية من ارتفاع درجات الحرارة و وبالتالي تصاعد كميات التبخر من المسطحات المائية يضاف إلى ذلك تضائل الهطول المطري العام . وفي حالة بحيرة ساوا لم تكن كميات الوارد المائي من الممكن الجوفي توازي كميات التبخر العالية منها أضف إلى ذلك

أُسحب الجائر للمياه من الآبار في المزارع القليلة المجاورة ، فقد أعانى المزارعون من نفس مظاهر الشحة والتوتر المائي ولنفس الأسباب .

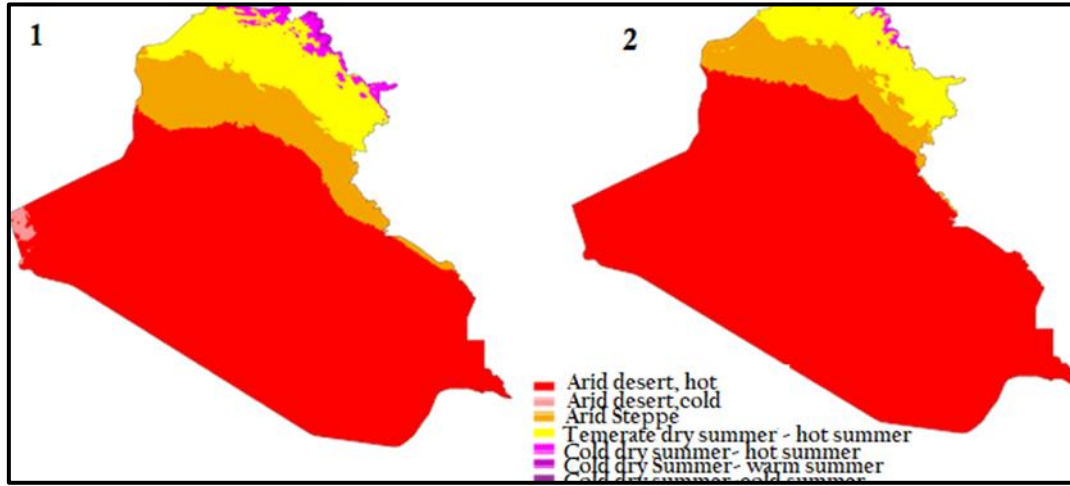
### أزدياد مساحات الأراضي القاحلة في العراق وتدهور الغطاء الخضرى فيه نتيجة التغير المناخي العالمى

يتسبب التغير المناخي العالمى وتأثيراته في في العراق بحصول موجات حر طويلة مصحوبة بدرجات حرارة قصوى تفوق معدلاتها المعهودة ، ويتزامن ذلك مع انخفاض ملحوظ في الهطول المطري إضافة إلى وقوع عواصف مطرية شاذة ، وقد أدى كل ذلك إلى زيادة في حدة الكوارث الطبيعية كحرائق المزارع والسيول المدمرة السريعة، وتشير التوقعات إلى تفاقم كل ذلك في المستقبل (46)(47)(48)(49)(50) .

وينذر تقرير صدر في نيسان 2022 عن المجلس القومي للمخابرات الأمريكية ( National Intelligence Council- NIC ) المتكون من ثمانية عشر وكالة من وكالات المخابرات في الولايات المتحدة الأمريكية بأن العراق سوف يواجه من بين احد عشر بلدا في العالم لها نفس المعاناة درجات حرارة قاسية وازميد من المناخ المتطرف الذي سيهدد مصادر وأمن الطاقة والغذاء والمياه والصحة لديهم جميعا ، كما أن الزيادة في تكرار الجفاف الحاد وموجات الحر الشديدة سوف يخلقان شدا قويا على مصادر المياه وقد يرهق عمل شبكات توليد ونقل الطاقة الكهربائية في الوقت الذي يتصاعد الطلب على الطاقة نتيجة لزيادة عدد النفوس واتساع المتطلبات الاقتصادية (51) .

أن من مظاهر التأثيرات السلبية الناجمة عن التغير المناخي العالمى وزيادة درجات الحرارة في العراق بالخصوص هو الزيادة الواضحة في مساحة الأراضي القاحلة فيه . وتوضح خرائط ( كوبن- كايغر Köppen-Geiger ) الخاصة بتصنيف الأراضي المناخي في العالم التغيرات الحاصلة في طبيعة هذه الأراضي في العالم خلال الفترة الزمنية (1980- 2016) والمتوقعة للفترة (2071- 2100) نتيجة لتغير المناخ العالمى وقد استندت هذه الخرائط على قواعد المعلومات المناخية المتوفرة عالميا وأسقاطاتها

بموجب سيناريوهات التغير المناخي في المستقبل (52). وقد تمكنا من أستخلاص خارطة العراق للفترتين الماضية والمستقبلية من مجموعة الخرائط هذه وهي المبينة في (الشكل 21) .

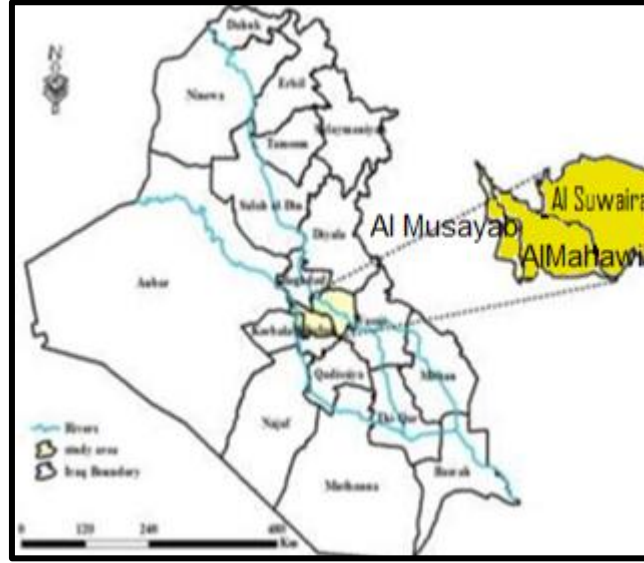


الشكل 21: خارطة التّصنيف المناخي للأراضي في العراق بموجب خرائط كوبن- كايغر ،

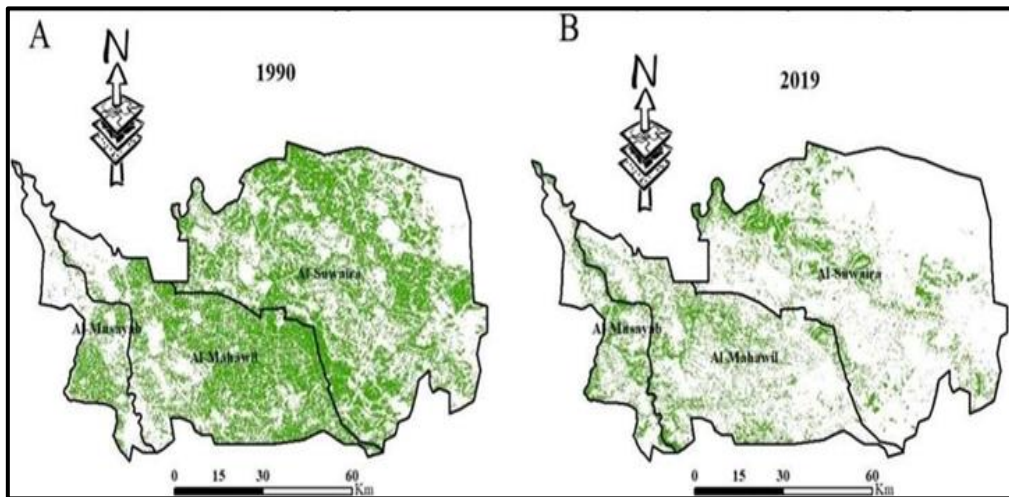
( 1 ) للسنوات 1980- 2016 ، ( 2 ) للسنوات 2016- 2100 (52) .

من الواضح من هاتين الخارطتين بأن الأراضي في العراق متجهة نحو المزيد من الجفاف والجذب والتصحّر وبالتالي أضمحلال الغطاء الأخضر في مناطق واسعة من القطر حتى نهاية القرن الحادي والعشرين ، وهذا ما تشير إليه أيضا دراسات مؤشرات الفرق في الغطاء النباتي المعدل ( Normalized Vegetation Difference Index- NDVI ) الذي سبق لنا ذكره والذي يمكن أستخلاصه من تحليل صور الأقمار الصناعية بقياس الفرق بين كمية الأشعة تحت الحمراء التي يعكسها الغطاء النباتي بقوة والأشعة الحمراء التي يمتصها النبات (53) ، بالإضافة إلى استخدام مؤشر التربة السطحية ( Crust Index ) لقياس صبغة الفيكوبيلين (Phycobilin) التي تنتجها البكتريا الزرقاء (Cyanobacteria) الموجودة في التربة السطحية (54) . ولقد أجريت بعض الدراسات عن زحف التصحر على مناطق عدة في العراق (55)(56) ومنها منطقة في وسط العراق تضم المساحات المحيطة بالصويرة والمحاويل والمسيب بأستخدام هذين المؤشرين وتطبيقهما على صور فضائية للقمر الصناعي لاندسات ألتنقّطت في

عامي 1990 و 2019 ، (الشكل 22) (56). وقد أظهرت مقارنة النتائج بأن مساحة الغطاء الأخضر الكلي التي كانت 2620 كيلومتر مربع عام 1990 قد انخفضت بمقدار 764 كيلومتر مربع في عام 2019 ، ومن هذه المساحة فقد تبين أن 34.8% منها قد تحولت إلى حالة متوسطة من التصحر بينما 10.2% منها أصابها التصحر العالي (الشكل 23).

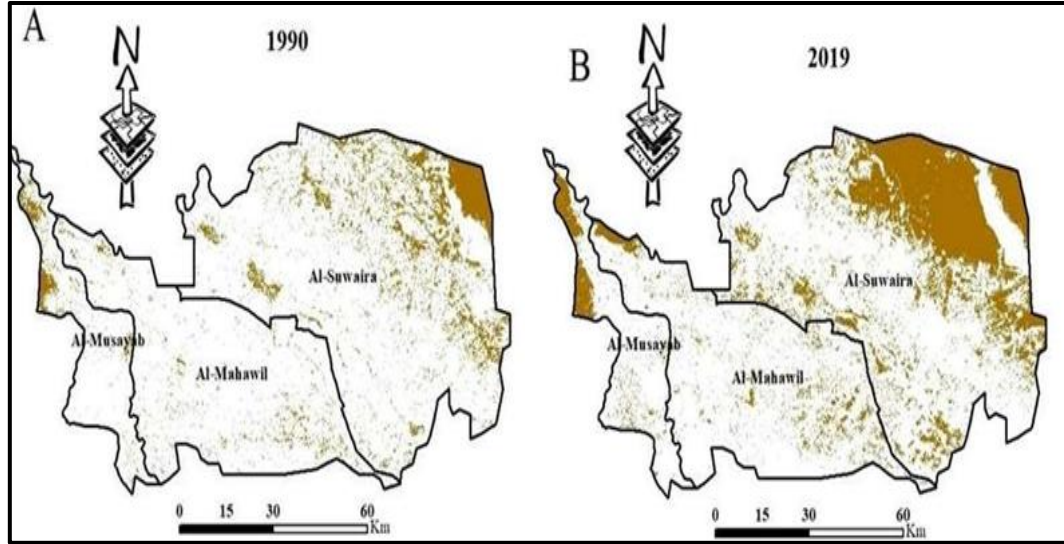


الشكل 22: خارطة موقعية لمنطقة الدراسة (56).



الشكل 23: (A) الغطاء النباتي لمنطقة الدراسة في عام 1990 مقارنة مع (B) في عام 2019 (56).

وبينت مخرجات مهمة أخرى ألتجاوز المستمر للكثبان الرملية على المناطق الخضراء فقد أزدادت مساحة الكثبان الرملية ألتى كانت بحدود 767 كيلومتر عام 1990 ألى 1723 كيلومتر في عام 2019 (أشكل 24) . وبذلك يكون معدل ألتناقص ألتسوي ألكلي في مساحة ألتطاء ألتبائي ما مقداره 21.33 كيلومتر مربع سنويا بينما بلغ المعدل ألتسوي لتأكل أراض وتعريتها نسبة 10.99% سنويا .



أشكل 24: (A) مساحات ألتكبان الرملية ألتحركة في عام 1990، مقارنة مع (B) مساحتها في عام 2019.(56).

ولم تسلم حتى المناطق ألتجبلية في شمال ألعراق ألتى تميزت ببغاباتها ومراعيها من هذا ألتدهور ألتبئي ألتذي يعزى ألى ألتناقص ألتلحوظ بألتطول ألتطري فوقها أضافة ألى ألتدخل ألتشري ألتتمثل بألقطع ألتجائر للأشجار وألتحف ألعمراني ألتها بينما تم تشخيص ألتفاف بأنه ألعامل ألتبسي بين هذه ألتسببات(57) .

وقد تأكد كذلك من دراسة ثانية ألتأخدمت فيها طرق ألتحسس ألتائي بأستعمال ألتصور ألتفضائية ألتلتقطة في عام 2013 وألتقارنة مع صور أخرى من أعوام 1984 و 1998 و 2007 وأستخدام معلومات ألترتفاعات ألترقمية لتمييز المناطق ألتصخرية ألعارية وكذلك المناطق ألعمرانية عن المناطق ألتخضرية . حيث جرى ألتجاد مؤشر ألتفرق بألمعدل ألتطاء ألتبائي ألتعدل (NDV1) أيضا ، فكانت مخرجات ألتدراسة هي بأن مساحات ألتغابات قد عانت من ألتذبذب خلال ألتفترة (1984- 2015) بسبب ضغط

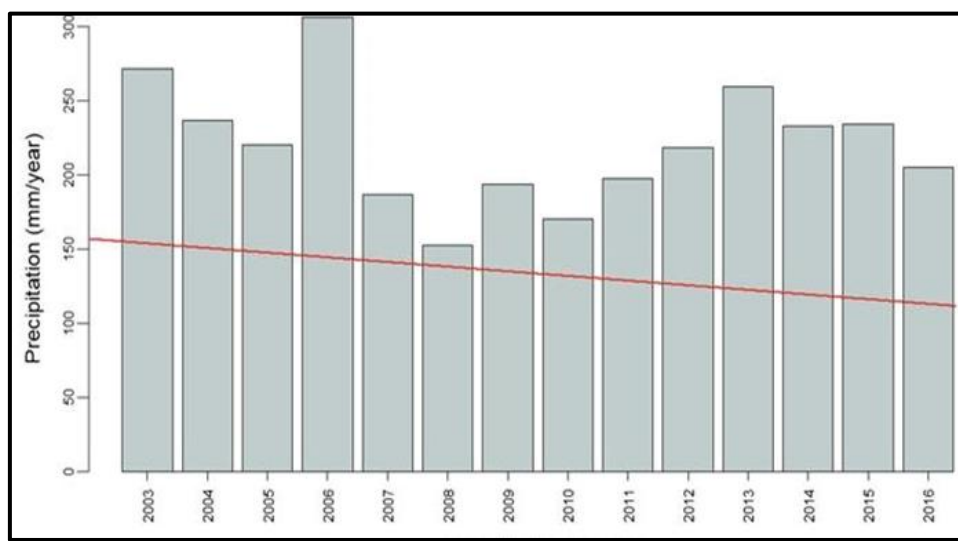
أعامل البشري الذي أثر فيها ، وكان واضحا أيضا بأن عوامل التغير المناخي أثرت هي الأخرى بصورة جلية فيها كما هو الحال في باقي المناطق في شرق البحر الأبيض المتوسط والعالم أيضا ، فقد سجلت درجات الحرارة ارتفاعا متزايدا ناهيك عن انخفاض الهطول المطري إلى نصف معدلاته الاعتيادية في منطقة الدراسة (58) .

يمكن التوصل من الدراسات التي تطرقنا إليها ومن العديد من الدراسات الأخرى المماثلة المتوفرة في الأدبيات العلمية المتخصصة إلى أنه وبالرغم من التدخل البشري في العديد من الحالات في التغيرات البيئية إلا أن عوامل التغير المناخي تبقى عاملا رئيسيا في تدهور البيئة . كما يتفق الجميع على أن الجفاف وانخفاض كميات الهطول وارتفاع درجات الحرارة المتزايد تساهم جميعا في انحسار الغطاء النباتي بدرجة كبيرة في العراق .

### زحف الكثبان الرملية على الأراضي الزراعية المتسارع حاضرا ومستقبلا

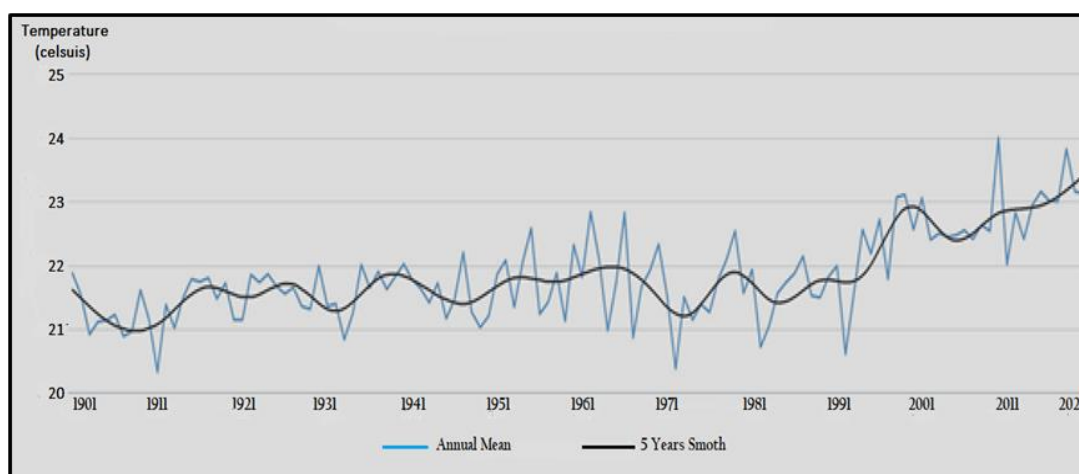
تؤثر العوامل المناخية المتمثلة بارتفاع درجات الحرارة المصحوبة بزيادة التبخر من النبات والتربة وانخفاض كميات الهطول المطري في أي بقعة بدرجة كبيرة في زيادة رقعة التصحر ونشوء الكثبان الرملية في تلك البقعة ، كما يساهم هبوب الريح القوية في هذه العملية ليزيد من تراكم هذه الكثبان وزحفها التدريجي على الأراضي الصالحة . وقد لوحظت هذه العوامل جميعها في ازدياد ظاهرة الكثبان في العراق خلال السنوات الأخيرة بتأثير مباشر من تغير المناخ في المنطقة وفي العالم .

فلقد انخفض المعدل السنوي للهطول المطري على عموم العراق بمقدار (10) ملمتر خلال الفترة الممتدة من عام (2003) لغاية عام (2016) كما مبين (الشكل 25) . وعلى الرغم من تسجيل زيادة طفيفة في معدل الهطول الشهري على مدى مائة سنة مقداره 2.4 ملمتر خلال الفترة 1951- 2000 في أبعد محطات الرصد المناخي في شمال العراق إلا أن هناك انخفاض بالمعدل الشهري قدره 0.88 ملمتر بحساب مئة سنة في جنوب شرق البلاد ، كما أن الانخفاض المسجل بالمعدل الشهري وبحساب مئة سنة أيضا في غرب البلاد يبلغ 5.93 ملمتر شهريا (60)



الشكل 25: رسم بياني لمعدل الهطول السنوي على مجمل العراق للفترة (2003- 2015) (59).

أما قياسات درجات الحرارة فتشير بأن معدلات درجات الحرارة في العراق قد ارتفعت منذ الخمسينيات من القرن الماضي بمعدل قدره 0.7 درجة مئوية محسوبة على مئة عام ، ألا أن هذا المعدل قفز من 21.87 درجة مئوية إلى 23.13 درجة مئوية خلال الفترة من عام 1901 ولغاية عام 2020 وكما هو واضح من (الشكل 26) (61).



الشكل 26: تغير معدلات درجات الحرارة السنوية في العراق خلال الفترة 1901 لغاية 2020 (61).

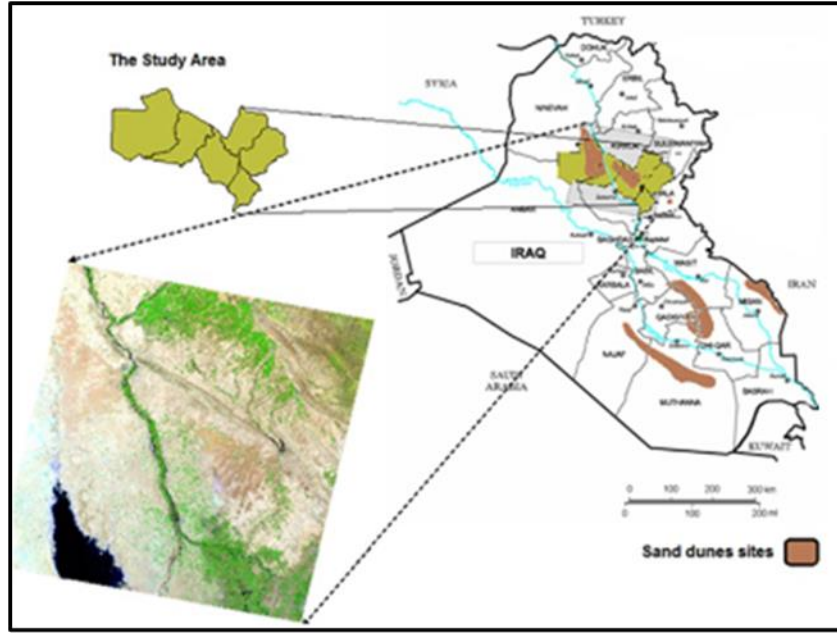
ويمكن الحصول على المزيد من التفاصيل عن حالة المناخ والطقس السائد في مناطق العراق في الشمال والوسط والجنوب سواء من حيث درجات الحرارة وكميات الهطول السنوي ومواسمه إضافة إلى حركة هبوب الرياح من موسوعة المعارف البريطانية (62) .

أن من أهم أدراكه جيدا هو أن نظام حركة هبوب الرياح فوق منطقة شرق البحر الأبيض المتوسط يتحكم إلى درجة كبيرة بحالة الطقس في المنطقة ككل ومنها العراق أيضا ، وهو في ذات الوقت شديد التأثير بتغير المناخ والاحتراز العالمي المتسبب بتقليل الهطول المطري مما يتسبب في زيادة حدة وتكرار العواصف الرملية فوق عموم المنطقة ، فتهب الرياح الشمالية الغربية أو ما يسمى بريح (الشمال) وتُسبب معظم الهطول المطري شتاءً بينما تؤثر في الطقس صيفا وتجعله حارا وجافا وتسبب أحيانا العواصف الرملية فوق الخليج العربي بعد أن تكون قد دفعتها من سوريا والعراق (63). كما أن الرياح الجنوبية والجنوبية الشرقية المعروفة باللهجة المحلية باسم (الشرجي) وهي رياح حارة وجافة وغالبا ما تكون بشكل عواصف قد تصل سرعتها إلى 50 كيلومتر بالساعة تهب نتيجة اندفاع المنخفض الجوي المتمركز فوق البحر الأحمر وتؤدي إلى قيام العواصف الرملية المحملة بالغبار خلال شهر نيسان وحتى بداية حزيران وكذلك من أواخر أيلول وحتى تشرين الثاني (64) .

وهكذا تتظاهر جميع التغيرات المناخية السلبية وخاصة تغير نظام هبوب الرياح فوق منطقة شرق البحر الأبيض المتوسط والجزيرة العربية والبحر الأحمر على زيادة حدة ظاهرة الكُثبان الرملية في العراق خاصة في غياب أية أعمال حكومية أو جهود مجتمعية من أجل مكافحة التصحر والتقليل من زحف هذه الكُثبان على مناطق جديدة على الرغم من ألفهم الجيد لأنواعها وخواصها ودينامية تكوينها في العديد من الأماكن في العالم ولوجود فيض من البحوث المتخصصة حولها (65)(66)(67) .

وفي العراق أجريت بعض البحوث القليلة ذات الأهمية الكبيرة التي تربط بين التغيرات المناخية والتردي المستمر بنوعية الأراضي التي تقود إلى التصحر وتكون الكُثبان الرملية المستمر في البلاد . من تلك الدراسات دراسة نُشرت في عام 2013 تناولت زحف الكُثبان الرملية على مناطق واقعة في الجزء

أشمال من وسط العراق وشملت مناطق في أفضية بيجي والدور وتكريت وأطوز وأخالص وكفري خلال الفترة من 1988 ولغاية 2009 (الشكل 27) (68) ، وغطت الدراسة مساحة قدرها 20,454.70 كيلومتر مربع يتراوح معدل الهطول المطري السنوي الساقط عليها بين 150 ملليمتر و 250 ملليمتر ويحصل في الشتاء والخريف (تشرين أول حتى مايس) .

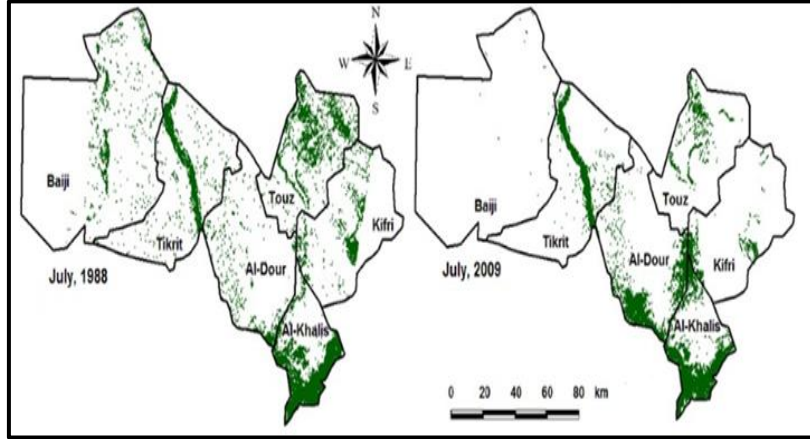


الشكل 27: خارطة العراق مؤشرا عليها موقع الدراسة (68) .

أعتمدت الدراسة مؤشر فرق الغطاء النباتي لقياس مستوى التصحر كما في الدراسات التي ذكرناها سابقا وأستعملت فيها صورتين فضائيتين الأولى من القمر الصناعي لاندست 4 ألنقطة في العشرين من تموز 1988 والثانية من القمر الصناعي لاندسات 5 ألنقطة في 22 تموز 2009. وكشفت الدراسة بأن الغطاء النباتي في هذه المناطق قد قل في عام 2009 عن مستوياته في عام 1988 بدرجات متفاوتة وحصل أكبر انخفاض في قضاء بيجي بنسبة قدرها 97.7 % ، أما أقل نسبة فقد كانت في قضاء تكريت وكانت بمقدار 2.4 % . ومن ناحية أخرى كانت هناك زيادة في مساحة الغطاء النباتي في قضاء الدور بنسبة 289.3% تعزى إلى استعمال أساليب الري الحديثة في الزراعة مثل الري بالرش . وبصورة عامة فقد تركز الغطاء النباتي قرب ضفاف الأنهار وفي الأراضي التي أستخدمت الآبار

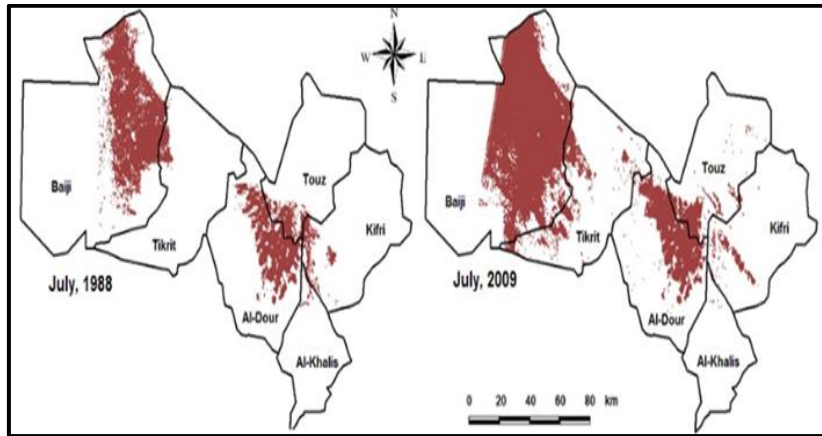
كمصادر لمياه الري .

ولأجل المقارنة في التوزيع المكاني للغطاء الخضري بين عام 1988 وما آل اليه في عام 2009 يمكن الرجوع إلى (الشكل 28) (68) .



الشكل 28: التوزيع المكاني للغطاء الخضري في منطقة الدراسة في عامي 1988 (اليسار) و 2009 (اليمين) (68) .

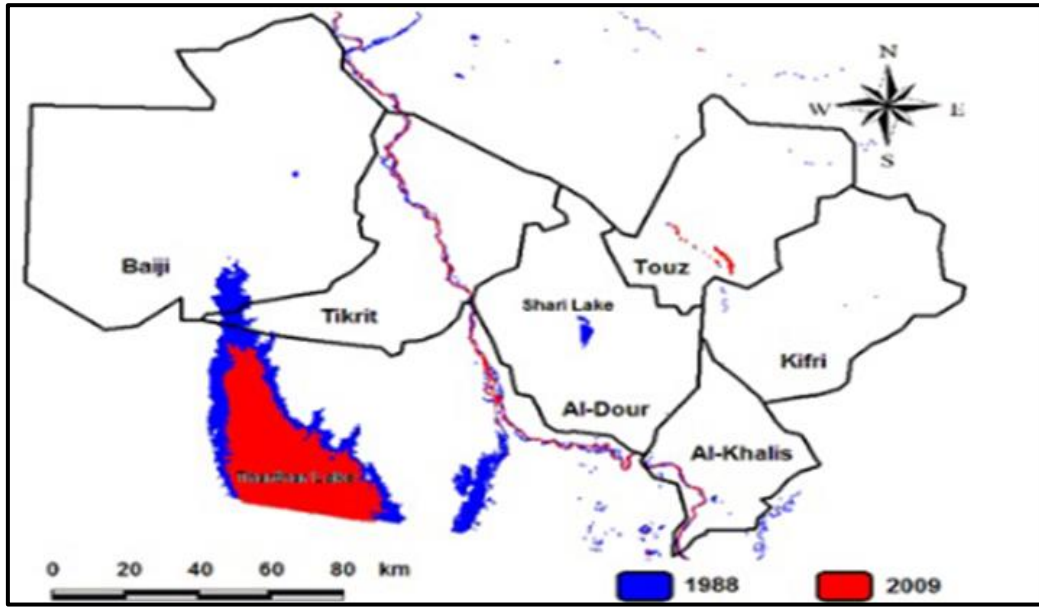
وأشرت مخرجات أخرى من هذه الدراسة إلى زيادة كبيرة في مساحات الكثبان الرملية ومعدل زحفها نحو المناطق المجاورة خلال نفس الفترة (الشكل 29) (68) .



الشكل 29: التوزيع المكاني للكثبان الرملية في منطقة الدراسة في عامي 1988 (اليسار) و 2009 (اليمين) (68) .

وتم احتساب نسب الزيادة هذه فكانت أعلى نسبة التي بلغت 66.4% قد حصلت في قضاء بيجي حيث أدت حركة الكثبان الرملية إلى التجاوز على الأراضي الزراعية وتقليل إنتاجيتها من المحاصيل كما أنها

أدت إلى تخریب ألبنى ألتحتیة من قنوات رى وطرقات وخلق ظروف صحیة متدنیة . و جاء قضاء ألدور ثانیة فی زیادة مساحة ألكثبان أرملیة بعد بیجی فی 2009 مقارنة مع عام 1988 وتمیزت ألكثبان هنا بسرعة حركتها ألعالیة وشكلها أطلولی وأمتدادها بأأجاه من شمال أألرب نحو جنوب أألشرق وهو أأجاه أألریاح ألسائدة فی أألمنطقة . ولوحظ من مخرجات أأأراسة أأأری تقلص مساحة أألمسطحات أأأائیة أألربیة أأأی غطتها نفس أأصور أأفضائیة وهی كل من بآیره أألرثار و بآیره أألشاری (أشكل 30) (68) .



أشكل 30: أألمسطحات أأأائیة فی 2009 و 1988 (68) .

أأر أأنا نرى عدم أأخذ هذا أأأطور على أنه یمثل أأأأالة أألمستمرة بین 1988 و 2009 حیث أن أأأأیرات فی مساحات هذه أألمسطحات أأأائیة أأأأأها أأأأأأات أأأسویة من أأأأأ الزائدة من فیضانات نهر دألة وأن أأأمر لیس مرهونا بتأأیر أأأناخ أأصرا ، إلا أن من أأواجب أأأأا أأقول بأن أأأأار أأأأا للأأالة أأأأأرولوجیة لنهر دألة قد عانت من أأأأأور منذ أأأسبعینیات من أألقرن أأمنصرم بسبب أأأأأل أأأأری وأأأار تأأیر أأأأناخ أأأأمی كذلک.

فی متابعة لهذا أأأوضوع فقد أأأأرت أأأأأة أأأأأة عام 2021 عن أأأأأأر فی أأمنطقة بیجی یأأأأن منها بأن أأأأالة قد أأأأأت سوءا وبأأأأة كبیره عن ما كانت علیه فی عام 2009 (69) . وأأأأأأأأ أأأأأأة

المذكورة سجلات الأرصاد الجوية لمدة 50 سنة امتدت من عام 1970 ولغاية عام 2020 من أجل إيجاد مؤشر هطول الأمطار القياسي (SPI) الذي يعتبر مؤشرا جيدا لتوصيف حالة الجفاف في أي منطقة (70)

(71). وبينت مخرجات الدراسة بأن 29 سنة من هذه السنوات تراوحت فيها حدة الجفاف بين الجفاف العادي إلى الجفاف الشديد بينما كانت الأعوام الأخرى ذات رطوبة معتدلة عدا سنة واحدة كانت فيها رطوبة جدا. كما كشفت الدراسة أيضا عن نقصان قدره 58 ملليمترا في المعدل السنوي للأمطار من 216 ملليمتر بالسنة في عام 1970 إلى 158 ملليمتر بالسنة في عام 2020 ، أي بمعدل نقصان سنوي قدره 1.16 % .

أما زيادة مساحة الكثبان الرملية في الفترة من عام 1995 وحتى عام 2019 فقد جرى احتسابها باستخدام صورتين من القمر الصناعي لاندسات التقطتا في 26 نيسان 1995 و 11 أيار 2019 وبدرجة دقة تبلغ 30 مترا فبلغت 1312,29 كيلومتر مربع ، وبالتالي بلغت المساحة الكلية لهذه الكثبان في عام 2019 ما مقداره 2162.49 أي بنسبة زيادة تساوي 39.3 % . ويمكن أدراك ما ستؤول إليه الحالة إذا ما نظرنا إلى الصور الفوتوغرافية لبعض هذه المناطق في بيحي (الشكل 31) .



الشكل 31: صور لبعض مناطق الكثبان الرملية في منطقة بيحي .

وعليه في حالة غياب أي جهد جدي للقيام بأعمال استصلاح لمساحات الكثبان المتزايدة كما هو الحال الآن فإن من المتوقع جدا أن تتحول منطقة بيحي بالكامل إلى صحراء تغطيها الكثبان الرملية كما في (الشكل 31).

أن الواقع البيئي الحالي يشير إلى أن العراق يعاني الآن من حالة شديدة من حالات التصحر المسببة لتكون الكثبان الرملية وهناك العديد من الحالات المشابهة لما يحصل في منطقة بيجي في محافظات ذي قار والمثنى ومنطقة الأنجب (72)(73) (74) .

أن التوزيع الجغرافي للكثبان الرملية في العراق التي تغطي الآن مساحة قدرها خمسة آلاف كيلومتر مربع يشمل مناطق في وسط وجنوب العراق موزعة على ثلاثة أحزمة : الأول هو الحزام الشمالي الممتد من قضاء بيجي مرورا بقضاء الدور و من ثم يستمر في المنطقة المحصورة بين نهر دجلة و الفرات ويتجه بعدها إلى الحدود مع إيران بمحاذاة سلسلي جبال مكحول وحميرين ، أما الثاني وهو الحزام الشرقي فيستمر من مدينة المقدادية في محافظة ديالى نحو مدينة علي الغربي في محافظة ميسان و أن الحزام الأخير ينحصر بين نهر الفرات من الغرب و نهر دجلة من الشرق ومشروع المسيب الكبير في الشمال ويستمر نزولا نحو الجنوب حتى مدينتي الناصرية والساوة (75) . وبذلك فإن هذه الكثبان تهدد العديد من المدن المهمة والمرافق الاقتصادية ومشاريع الري وهي تشكل الآن مشكلة وطنية كبيرة كما سوف تستفحل بدرجة أكبر في المستقبل ، خاصة وأن مساحاتها في تزايد مستمر باستمرار حالة الجفاف المتصاعدة في العراق نتيجة لتغيرات المناخ السلبية التي تزيد من حالة التصحر ، وبالتالي يتطلب قيام الجهات المعنية بجهد وطني كبير لمكافحة تكونها وأستصلاح مناطق انتشارها وبعبكسه سوف تكون لها عواقبها الغير محمودة .

### زيادة شدة وتكرار العواصف الرملية والغبار في العراق ومسبباتها المناخية

أن موقع العراق الجغرافي يجعله معرضا بدرجة كبيرة لحدوث العواصف الرملية والغبارية ، فوجوده ضمن إقليم شرق البحر الأبيض المتوسط المحيط بصحراوين من أكبر الصحاري في العالم هما الصحراء الغربية الكبرى في شمال أفريقيا و صحراء شبه الجزيرة العربية يجعله ضمن حزام للغبار تعمل فيه الرياح الغربية المدارية على نقل الغبار لمسافات بعيدة من هاتين الصحراوين إلى العراق والأقطار المجاورة له كما يمكن لهذه الرياح أثارة مثل هذه العواصف من يؤر داخل العراق أو قريبة منه .

وفي الغالب تنتقل حبيبات الغبار والرمل على شكل عواصف رملية وغبارية عبر هذا الأقليم من المناطق القاحلة الجافة التي تفتقر فيه إلى الغطاء الخضري . وقد اعتُبرت هذه المناطق الجافة على أنها المصدر الرئيسي لعواصف الغبار منذ بداية الثمانينات من القرن المنصرم ، مع ملاحظة بأن التعريف المتفق عليه عالميا لعاصفة الغبار بأنها تلك التي ينخفض فيها مدى الرؤية عن 1000 متر (76) .

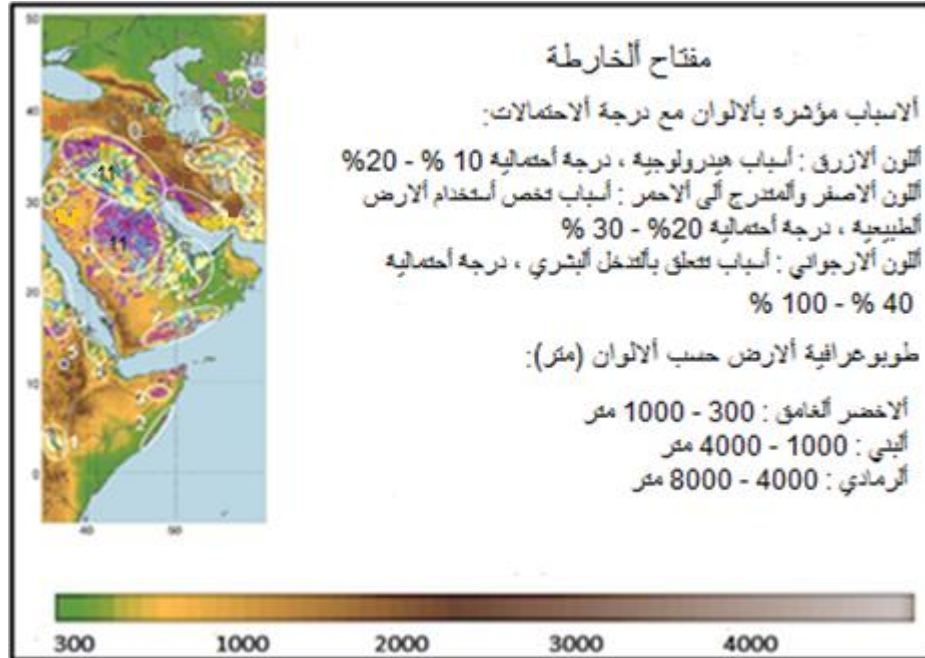
تميز دوائر الأرصاد الجوية العواصف الرملية عن عواصف الغبار بأن الأولى تنجم عن رياح قوية تنقل حبيبات الرمل غالبا على ارتفاع حوالي عشرة أقدام ولا يتجاوز ذلك الخمسين قدما عن سطح الأرض ، بينما العواصف الغبارية تنقل حبيبات الغبار الأصغر حجما فوق مساحات شاسعة وعلى ارتفاعات كبيرة (77) ويمتاز حوض نهري دجلة والفرات في سوريا والعراق (الموقع رقم 11 في الشكل 32) (78) بأحتمالية تكرار العواصف الغبارية فيه تساوي أو تزيد عن 20% ، وهي عادة ما تكون بعمق غباري بصري يساوي أو يزيد عن 0.2 (78) .

يُعرف العمق البصري الغباري (Aerosol Optical Depth - AOD) بأنه اللوغارتم الطبيعي لنسبة الأشعة الضوئية الساقطة في وسط ما إلى تلك المنعكسة منه خلال الغبار وبالتالي فهو مقياس لكثافة الغبار المنتشر في عمود الهواء الممتد من سطح الأرض إلى أعلى نقطة له في الغلاف الجوي ويعطي تخميناً لمدى الأحماد لأشعة الشمس بسبب تبعثرها وأمتصاصها من قبل حبيبات الغبار (79) .

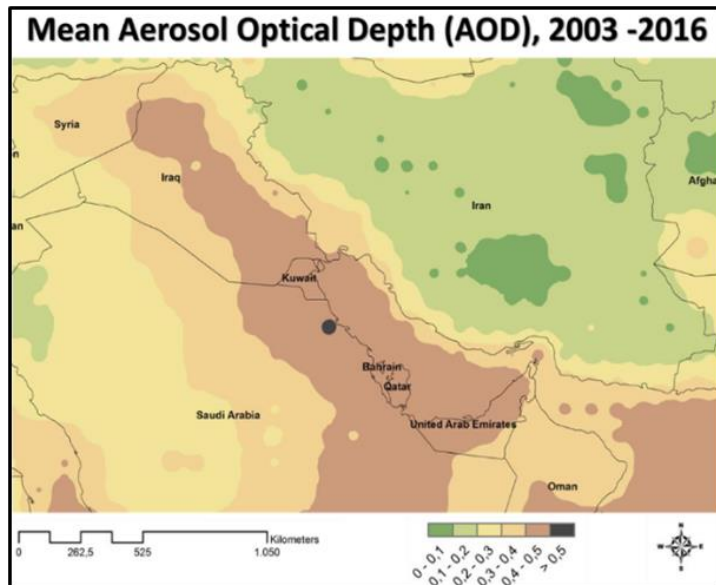
تصنف عادة الأقاليم التي تمتاز بعواصف غبارية كثيفة بأن مؤشر العمق البصري فيها يتجاوز (0.3) إلا أنه قد يصل يزيد عن (1.0) في المناطق الصحراوية ولكنه في أغلب الأحيان يقل عن (3.0) (80) . ويوضح (الشكل 33) المعدلات المرصودة لعمق الغبار البصري خلال (2003-2016) فوق العراق وسوريا والمملكة العربية السعودية إضافة إلى القسم السفلي من الخليج العربي (80) .

وتعتبر العواصف الغبارية التي تهب على القسم الأسفل من حوض نهري دجلة والفرات ذلت مسببات طبيعية غير أن التدخل البشري في تقليل موارد المياه لهذين النهرين الناجم عن بناء المزيد من مشاريع

الري والسدود في أعاليهما يلعب الآن دورا مهما في تفاقم هذا الظاهرة بسبب اتساع رقعة الجفاف والتصحّر نتيجة للشحة المائية المتزايدة .



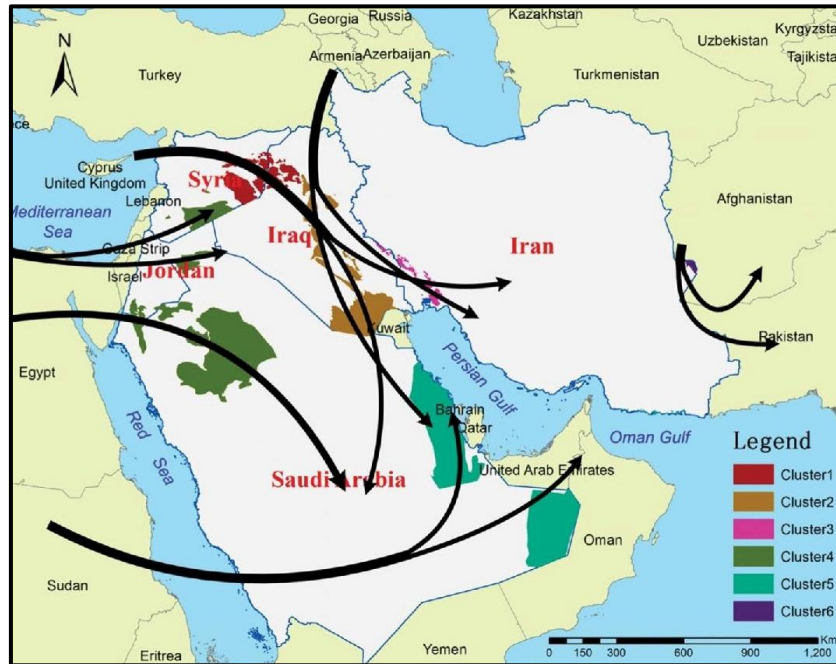
الشكل 32 : أسباب و احتمالات هبوب العواصف الغبارية مؤشرة بحسب الألوان في بلدان شرق أفريقيا والشرق الأوسط مع تأشير الطبيعة الطبوغرافية الموقع رقم 11 يمثل حوض نهري دجلة والفرات في العراق وسوريا مع جزء من المملكة العربية السعودية (78).



الشكل 33: معدلات عمق الغبار البصري للفئرة 2003-2016 في بلدان الشرق الأوسط<sup>(80)</sup>.

ويلعب التدخل البشري بالإضافة إلى العوامل الهيدرولوجية المتأثرة بتغير المناخ في جعل مناطق واسعة في المملكة العربية السعودية والاردن مصادر جيدة للغبار، كما أن في اليمن أصبحت السهول المروحية في مصبات الوديان في المناطق الساحلية من حضرموت هي الأخرى مصادر كبيرة للغبار أيضا . وتعاني المناطق الساحلية في غرب إيران وكذلك الجزء الشمالي الغربي من البلاد من هذه العواصف بسبب التغير المناخي المتفاجم ونتيجة للأسباب الأنثروبوجينية البشرية أيضا.

**تتحكم العديد من المنظومات المناخية ومسارات هبوب الرياح في** ظاهرة العواصف الغبارية (SDS) في إقليم شمال أفريقيا وفي الشرق الأوسط (MENA) ويمكن تصنيف هذه العواصف إلى عواصف ناجمة عن رياح الشمال الصيفية والمنخفضات الجوية الشتوية ، وتهب عواصف ريح الشمال عادة لتغطي العراق والكويت والجزء الغربي من سهل خوزستان (عربستان) وبعض أجزاء شبه الجزيرة العربية ، أما عواصف الغبار الناتجة عن المنخفضات الجوية فتهب عبر الأردن وفلسطين والجزء الشمالي من الجزيرة العربية أيضا. ويمكن تميز ستة مسارات للرياح الناقلة للغبار والرمل يتحكم بها جميعا الطقس في إقليم شمال أفريقيا والشرق الأوسط (MENA) كما في (الشكل 34)(81).



الشكل 34: مسارات عواصف الغبار والعواصف الرملية في إقليم شمال أفريقيا والشرق الأوسط (81).

وتأخذ هذه الرياح مسارات محددة : الأولى تنشأ فوق البحر الأبيض المتوسط مارة فوق قبرص ثم تهب على الأراضي السورية والعراق باتجاه إيران، و تندفع الثانية تحت تأثير منطقة الضغط الجوي العالي المتمركز فوق شرق أوروبا في منطقة القوقاز ، بينما يبدأ مسار الثالثة من جنوب البحر الأبيض المتوسط أو السواحل الشمالية في شمال أفريقيا ويضرب دوما جنوب سوريا والأردن والحدود الشمالية من المملكة العربية السعودية . أما الرابعة فتبدأ في شمال أفريقيا عابرة مصر والقسم الشمالي من البحر الأحمر نحو الجنوب الشرقي من المملكة العربية السعودية ، ويتمركز الخامس في المنخفض الجوي فوق البحر الأحمر ، وأخيرا المسار السادس لرياح تتجه من سهل سيستان في إيران نحو الحدود الإيرانية الأفغانية وتتحرك باتجاه معاكس للاعاصير في وسط آسيا (81). وتعتبر الكتل الهوائية من منطقة البحر الأبيض المتوسط ذات أهمية كبيرة في إنتاج عواصف الغبار والرمل التي ينتج عنها حوالي 70% من العواصف التي نشهدها الآن في العراق (81) .

لقد تسبب التغير المناخي العالمي بزيادة شدة وتكرار الظواهر المناخية القاسية في هذا الاقليم بضمنها العواصف الرملية (SDS) وسوف يتفاقم هذا الأمر بحسب كافة سيناريوهات تغير المناخ المبنية على انبعاثات متوسطة أو عالية من غازات البيت الزجاجي ، كما أن زيادة هذه الانبعاثات أصبحت تؤثر أيضا بتكرار وحدة نوبات الجفاف في الشمال الشرقي من البرازيل ومعظم أرجاء قارة أفريقيا وكذلك في شمال شرق الصين وبالتالي ستضرب الأنظمة البيئية وتهدد الأمن الغذائي وحتى استخدامات الأراضي في كل هذه البقاع (82).

أن الاستنتاج المنطقي الذي يمكن التوصل إليه هو أن من عواقب زيادة الاحترار العالمي هو تصاعد حدة هبوب العواصف الرملية وعواصف الغبار فوق العراق وبقية بلدان الشرق الأوسط في المستقبل . وهناك عاملان مهمان يحركان آلية حدوث هذه العواصف وشدها ، الأول هو أن هذا الاحترار أدى ويؤدي إلى اضطراب ظاهرة تذبذب الضغط الجوي فوق منطقة شمال المحيط الأطلسي (NAO) مما جعل مسار الرياح الهابة على منطقة البحر الأبيض المتوسط يندفع شمالا تاركا المجال لتغيرات عنيفة في

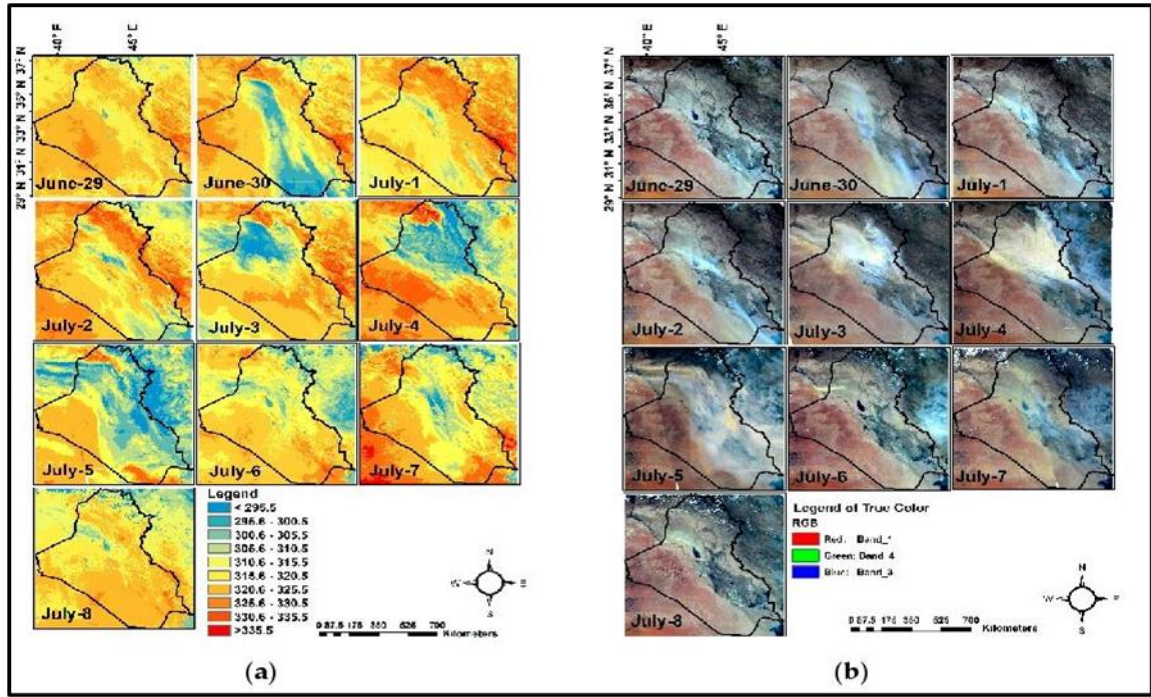
نظام هبوب الرياح فوق هذ المنطقة وجعل الرياح نفسها أقل رطوبة عن السابق ، أما الثاني فأن قلة الرطوبة المحمولة أدت إلى تقليل الأمطار بالإضافة إلى ارتفاع درجات الحرارة وحصول موجات الحر الشديد مما فاقم من الجفاف في هذه البلدان وجعل التربة أكثر هشاشة وبالتالي زيادة حمولة الرياح من دقائق الغبار والرمل .

لقد ناقشت إحدى الدراسات المهمة التي نُشرت الدراسة في عام 2013 آلية وقوع العواصف الغبارية والرملية في العراق وخواصها بصورة تفصيلية و تطرقت إلى تَكون هذه العواصف وأسبابها وخصائصها (83). بينما ناقشت دراسة أخرى في عام 2019 ديناميكية وقوع هذه العواصف باستخدام مؤشر الفرق المعدل للغبار ((Normalized Difference Dust Index- NDDI)) مع استعمال أدوات التحسس النائي والصور الفضائية من أجل مراقبة نشوئها وتطورها وانتشارها فوق المناطق الجافة والشبه الجافة من العراق . وغطت الدراسة العاصفة التي هبت في الفترة من التاسع والعشرين من حزيران وحتى الثامن من تموز من عام 2009 وأعتبرت في حينها من أعنف العواصف المسجلة لحد ذلك التاريخ و كانت المساحة التي غطتها العاصفة أكبر ما ممكن في اليوم الخامس من تموز بينما كان المساحة المغطاة هي الأصغر في التاسع والعشرين من حزيران أي عند بداية انطلاقها ، ويعطي (الجدول 1) تطور مساحتها طوال تلك المدة بينما يوضح (الشكل 35) حركتها وانتشارها فوق القطر (84)

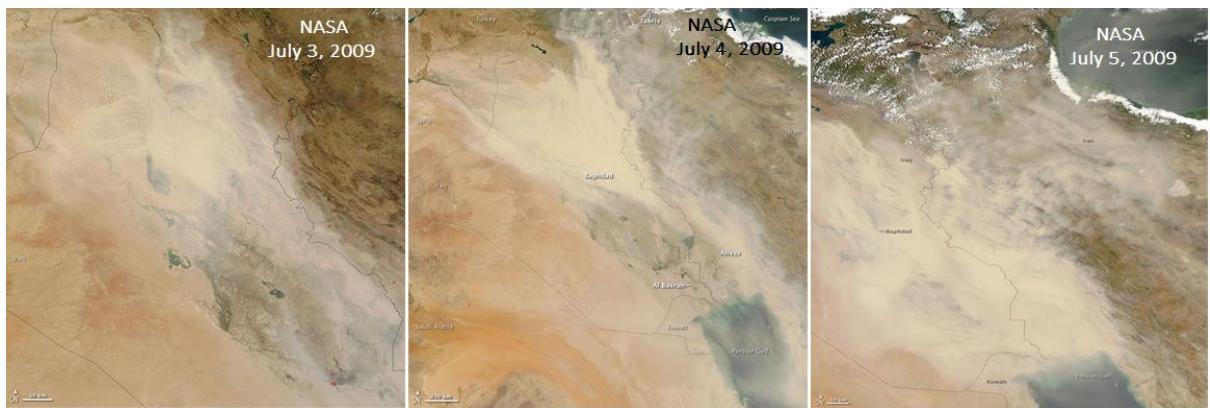
**جدول 1: تغير مساحة العاصفة الغبارية من التاسع والعشرين من حزيران**

**لغاية الثامن من تموز 2009 (84).**

Date	Dust Area in Km <sup>2</sup>	Percentage of Dust Storm Area Percentage to the Area of the Country
June 29	52,381.3	6
June 30	141,593.4	17
July-1	51,425.7	7
July-2	57,533.8	8
July-3	234,754.1	27
July-4	251,102.8	29
July-5	540,640.8	71
July-6	209,680.6	25
July-7	206,160.8	24
July-8	128,364.8	15



الشكل 35: (a) مستخلصات من موقع (MODIS) للصور الفضائية (قناة الأشعة الحمراء Aqua MODIS band31 (10.78–11.28  $\mu\text{m}$ ) للفترة من 29 حزيران لغاية 8 تموز 2009 فوق العراق ومحيطه ، (b) الصور الفضائية من قناة (Aqua MODIS true-color images bands (1, 4 and 3) لنفس الفترة (84).  
وتبين الصور الفضائية لوكالة الفضاء الأمريكية ( الشكل 36) أنتشار هذه العاصفة في الثالث والرابع وأخماس من تموز 2009 .



الشكل 36: صور فضائية لوكالة الفضاء الأمريكية (NASA) للعاصفة الغبارية على العراق في تموز 2009 .

أن معظم العواصف الغبارية والرملية (SDS) فوق العراق هي ليست عواصف محلية بل هي عابرة للحدود وتكون جزءاً من عواصف أكبر أتساعاً تشمل منطقة شرق البحر الأبيض المتوسط وشبه الجزيرة العربية وقد تم إثبات ذلك من خلال دراسة ستة عواصف من ريح الشمال التي هبت في خلال أوقات مختلفة بين تشرين أول وأذار بين عام 2016 وعام 2018. وقد ركزت الدراسة على أنماط هبوب الرياح والقوى الحركية الفاعلة قبل وخلال وبعد انطلاق عواصف الغبار التي تسببها ، وأثبتت الدراسة التي استعانت بصور الأقمار الصناعية والنمذجة الرياضية بأن كتلة هوائية باردة من رياح الشمال متمركزة فوق تركيا وسوريا وشمال العراق كانت هي المحرك الأكبر في انطلاق العواصف تلك بينما كانت سرعة الرياح العالية هي السبب في إثارة العصف الغباري (85).

مما تقدم يمكن القول بأن العواصف الرملية والغبارية في العراق تحتل مرتبة متقدمة جداً بين سائر الظواهر السلبية الأخرى التي نجمت عن التغير المناخي لأسباب طبيعية أو نتيجة للتدخلات البشرية أو كليهما معاً. كما يمكن القول بأن تكرار حدوث العواصف الرملية وعواصف الغبار وشدتها سوف يزدادان في المستقبل عن مستواهم الحالي وذلك بسبب التدهور المستمر والإهمال الكامل لاتخاذ أي إجراء ذو معنى من قبل السلطات الحكومية للتصدي لعموم تلك الظواهر ، وهذا ما سوف يسبب المزيد من عسرة العيش والمخاطر الصحية على البشر .

### الخلاصة وألحلول المتاحة

1. أن تأثيرات تغير المناخ على المستوى العالمي قد أفرزت ظروف سلبية خطيرة في بلدان شرق البحر الأبيض المتوسط وبشكل أكثر تحديداً في العراق ، وبدى هذا الأمر جلياً في تفاقم شحة المياه وموجات الحر الشديد وارتفاع درجات الحرارة الجوية فيه. كل هذه الأمور مجتمعة قادت إلى خسارة المزيد من الغطاء الخضري وتكرار فترات الجفاف واتساع مساحة التصحر وزيادة العواصف الرملية الهابة عليه . وتشير التحليلات إلى أن العراق سوف يواجه المزيد من تناقص الهطول المطري وازدياد في درجات الحرارة في المستقبل (86- 91) .

2. لقد أدت الأمور المشار إليها في (1) أعلاه بالإضافة إلى زيادة ملوحة الأراضي إلى تقويض ألقطاع الزراعي في العراق الذي بدأ بالتدهور أصلا نتيجة انخفاض واردات المياه من نهري دجلة والفرات . أن الأمن المائي للعراق مرتبط ارتباطا وثيقا مع الدول الثلاثة المتشاطئة معه بهذين النهرين : تركيا وسوريا وإيران وتعتمد كل من هذه الدول بدرجة عالية على مياه هذين النهرين في الوقت الذي ضرب فيه الجفاف الشديد كل من العراق وسوريا بدرجة لم يُشهد لها مثيل منذ عام 1940 خلال الفترة من عام 2007 ولغاية عام 2009 حيث تدنى الهطول المطري إلى مستوى يقل 70% عن معدلاته السنوية الاعتيادية وتكررت نفس الحالة في السنوات اللاحقة من عام 1998 ولغاية عام 2000 (92) . لذلك فإن من الواضح بأن تغير المناخ والتدخل البشري بمصادر المياه يتضافران معا لأضعاف الأمن المائي للعراق وبالتالي تهديد استقراره والتسبب بمعاناة سكانه نتيجة خسارة مدخولاتهم وتزايد المخاطر الصحية وهجرتهم من أراضيهم .

ومن الواضح أيضا بأن كل من تركيا وسوريا وإيران تتأثر بنفس تغيرات المناخ السلبية حالهم حال العراق في ذلك إلا أن غياب اتفاقية عادلة لتقاسم المياه المشتركة بينهم يعني بأن أغلب الضرر سيكون من نصيب العراق . وفي هذه الحالة على حكومة العراق بذل كل الجهود للتوصل إلى حل مرضي من خلال عقد اتفاقية موسعة للتكامل الاقتصادي بين هذه البلدان يكون بند المياه من بنودها الرئيسية. ويجب على الجميع الإدراك بأن عدم استقرار العراق الناتج عن الهجرة القسرية للسكان والفوضى الاجتماعية سوف يمتدان إلى الدول المجاورة وقد يؤدي الأمر إلى الصدمات المسلحة (93-97) .

3. لا يمكن فهم مسببات تغير المناخ وأثار التدخل البشري على البيئة في العراق أو تدارك أثارها بصورة فعالة بحصرها في نطاق أقطر فقط ، حيث أن أبعادها الإقليمية تتعدى حدود العراق وتشمل كافة أقطار أقليم شرق البحر الأبيض المتوسط وبلدان شبه الجزيرة العربية ، كما أن أية دراسات علمية لهذه التغيرات والتنبؤ بأبعادها المستقبلية يجب أن تغطي عموم هذه المنطقة من أجل الحصول على أية نتائج ذات مغزى . وعليه ويتطلب الأمر تطوير نماذج رياضية جديدة أكثر دقة وشمولية لكي يكون بالإمكان

ألتنبوء بتغيرات العوامل المناخية المستقبلية على عموم مساحة الأقليم مثل المقادير والتوزيعات الجغرافية للهطول المطري ، درجات الحرارة الجوية ، الانحرافات في أنظمة هبوب الرياح ، أفهم الأفضل لخواص الهباء الجوي من بخار ماء ودقائق الغبار وحبوب أطلع (aerosols) وأخيرا ألتنبوء بصورة دقيقة بوقوع موجات الجفاف . بذلك يمكن ألتخاذ أجراءات فعالة من أجل ألتقليل من ظاهرة ألتصحّر وهبوب عواصف الرمل والغبار (SDS) في المستقبل .

أن اية تدابير تتخذ لتحسين الوضع يجب أن تتخذ بصورة مشتركة بين كافة دول الأقليم وذلك بدراسة وتنفيذ مشاريع متكاملة ومستدامة من أجل مكافحة ألتصحّر بأستخدام مصادر غير تقليدية للمياه وألتوسع في ألتشجير وزيادة المساحات أالحرجية وتحسين ألتغطاء ألتبائي عامة ، وكذلك تبني إدارة مناسبة للاراضي من أجل وقف تآكل وزحف ألتكثبان الرملية على أن تشمل كل هذه الأعمال أوسع رقعة ممكنة من أجل تحسين ألتوضاع ألبئية عامة . وأن هذا ألتعاون ألتشترك بين بلدان الأقليم لايعني وقف ألتعاون ألتثنائي بين أي بلدين منها بل تشجيعه أيضا إذا ما توفرت ألتفاهات وألقناعات في ذلك . ويذكر على سبيل ألتثال مذكّرة ألتفاهم ألتوقعة بين ألعراق وألمملكة ألعربية ألسعودية في شباط 2022 ألتضمنة بين أمور أخرى ألتعاون لمكافحة ألتصحّر وألحفاظة على ألتنوع ألتحيائي وألحفاظ على ألتراعي وألتغابات (98) .

4. أن أحد الطرق أالكفيلة بتطوير ألتجهد ألتشترك في ألتخفيف من أثار ألتغير ألتناخي في ألتشرق ألتوسط أنشاء هيئة حكومية معنية بدراسات وتقييم أثار تغير ألتناخ في هذا ألتقليم على قرار ألتهيئة ألتحكومية لتغير ألتناخ في ألتعالم (Intergovernmental Panel for Climate Change- IPCC) يطلق عليها أسم "ألتهيئة ألتحكومية ألتقليمية لتغير ألتناخ في ألتشرق ألتوسط " أي ( Middle East Intergovernmental Panel for Climate Change- ME- IPCC) على أن يأخذ ألعراق زمام ألتبادرة في أنشاء ألتهيئة ألتذكورة ويكون مقرها فيه لكونه أكبر ألتضررين من ألتغيرات ألتناخية ألتحاصلة . لذا نقترح تأسيس مثل هذه ألتهيئة وأن تضم في عضويتها بألاضافة للعرّاق كل من تركيا،

وإيران، وسوريا، والأردن، والكويت، وألمملكة العربية السعودية وكافة دول الخليج الأخرى ومصر، وتأخذ الهيئة على عاتقها التعاون مع الهيئة الحكومية الدولية (IPCC) ومنظمة المناخ الدولية (WMO) ومنظمة الأمم المتحدة لشؤون البيئة (UNEP) وباقي المنظمات الدولية المعنية بتغيرات المناخ وما ينجم عنها من عواقب مثل منظمة الغذاء الدولية ومنظمة شؤون الهجرة والمهاجرين الدولية ومنظمة الصحة العالمية ومنظمة الصليب الأحمر الدولية والبنك الدولي من أجل تنسيق الجهود والسياسات المتعلقة بالأقليم .

في ذات الوقت على الهيئة أخذ دور الريادة في تشجيع وتنظيم وتمويل البحث العلمي المتخصص في كافة الدول الأعضاء وبالتالي تحليل نتائج هذه الأبحاث و تخزينها في قواعد بيانات والخروج بتقارير عامة ودورية عن تطورات حالة المناخ وعدم أغفال تقارير خاصة بصانعي السياسات والقرار مدعمة بالتوصيات العملية لغرض التطبيق .

تكون الأبحاث التي تديرها وترعاها الهيئة بالدرجة الأولى ذات طبيعة أقليمية موجهة نحو المواضيع المشتركة بين الدول الأعضاء مع عدم أغفال الأبحاث ذات الطابع القطري أيضا ، ويجب أن تنصدر الأبحاث الخاصة ببناء النماذج الرياضية ومحاكاة الظواهر المناخية المتغيرة قائمة الأولويات من أجل التنبؤ المستقبلي بالتطورات السلبية والتصدي لمسببات شحة المياه وتراجع جودة الهواء سواء في ارتفاع درجات الحرارة و موجات الحر الشديد وقلة الهطول المطري وبالتالي الجفاف والتصحر وحصول عواصف الغبار والرمل الملوثة للهواء .

5. أما على المستوى القطري فأن من واجب كل حكومة من حكومات الدول في أقليم البحر الأبيض المتوسط أن تعمل على تقوية المؤسسات الوطنية المتخصصة بشؤون البيئة وأصدار وأغناء التشريعات الخاصة بالمحافظة عليها وتحسينها والتقييد الشديد بتطبيقها وأشارك ألقطاع أخاص ومنظمات المجتمع المدني وقطاعات المجتمع المختلفة في أعمال حماية البيئة ، كما على هذه الحكومات تضمين كافة خطط الأعمار الأعتبارات البيئية . وعليها أيضا أن تتحول من سياسة أستجداء المعونات من أالخارج لمعالجة

الخلل في البيئة إلى الشعور بالمسؤولية الوطنية ورصد الميزانيات الوفيرة لتلافي الكلف المتوقعة .

ولابد أن نشدد بأن كافة ما يجب القيام به في هذا المضمار لا يمكن أن يتم من دون مشاركة شعبية واعية مما يعني ضرورة القيام بالحملات التثقيفية والتوعوية لكافة قطاعات الشعب ابتداءً من تلاميذ المدارس وحتى البالغين كافة (99) .

6. أن من الأمور المهمة لمكافحة آثار التغير المناخي السلبية من جذب الأراضي وتكون وزحف الكتبان الرملية وزيادة رقعة التصحر وبالتالي تكرار هبوب العواصف الرملية والغبارية وزيادة حدتها ألقيا  
بجهود استصلاحية متنوعة وشاملة مما يتطلب توفير الاستثمارات الكبيرة لهذه الأعمال ، لذا فإننا نقترح  
أنشاء صندوق مشترك لدول إقليم الشرق الأوسط من أجل التخطيط وأقامة المشاريع وبذل الجهود  
المتنوعة وبالتالي تمويلها من خلال صندوق استثماري خاص لمساعدة دول الإقليم في هذا الجهد الكبير  
ويكون تحت أسم "الصندوق الإقليمي لمكافحة التصحر في الشرق الأوسط

وتهم هذه المشاريع بإنشاء مصدات الرياح وزيادة رقع التشجير والأحراج وتحسين إدارة الأراضي الرعوية وزيادة رقة الغطاء النباتي وتثبيت مساحات الكثبان الرملية والعمل على أستصلاحها والبحث عن مصادر غير تقليدية من أجل توفير مياه الري لها وبالتالي إعادة تجارب ناجحة في هذا المضمار نذكر منها تجربة الأسد الأخضر في الجزائر ألبالغ طوله 1500 كيلومتر وبعرض 20 كيلومتر وأمتد من الحدود الشرقية للجزائر وحتى حدودها الغربية في المنطقة المحصورة بين الخط المطري 300 ملليمتر وأخط المطري 200 ملليمتر (100). وهناك أيضا مشروع الجدار الأخضر العظيم في الصحراء الكبرى ودول الساحل في أفريقيا الذي بوشر به في عام 2012 وينفذ تحت رعاية معاهدة الأمم المتحدة لمكافحة التصحر (UNCCD) ومشاركة منظمة الغذاء الدولية (FAO) والبنك الدولي (WB) والاتحاد الأوروبي وكذلك الاتحاد العالمي للمحافظة على الطبيعة (IUCN) والهيئة العالمية للبيئة (GFE).

لقد كان الهدف الأصلي من المشروع إقامة حاجز أخضر بين الخط المطري البالغ 100 ملليمتر والخط

المطري البالغ 400 ملليميتر بطول يزيد على 7000 كيلومتر وعرض 15 كيلومتر على الساحل ، وتطور المشروع إلى أسلوب الإدارة المتكاملة للبيئة باتجاه الاستعمالات المتنوعة للاراضي وأنشاء منظومات إنتاجية بضمنها الإدارة المستدامة للاراضي الجافة وإعادة استنبات النبات الطبيعي ، إضافة إلى القيام بتدابير لحجز المياه والمحافظة عليها . واشترك في المشروع إحدى عشر دولة من دول الساحل والصحراء التي حققت لحد الآن وبمساهمة الدول والمنظمات الدولية المانحة تقدم ملفت للنظر حيث يؤمل أنجاز المشروع في عام 2030 (101) .

7. أن من الضروري جدا أدراك بأن العراق الآن مهدد بوجوده نتيجة لآثار التغير المناخي الذي يهدد قطاعات الزراعة والصحة والاقتصاد إضافة إلى البيئة فيه وهو ما سوف يؤدي حتما إلى زيادة الفقر والاضطرابات الاجتماعية وزيادة الهجرة وأن شحة المياه فيه ماهي إلا وجه واحد من المشكلة ، فالحاجة المتزايدة للمياه لدى البلدان المشاركة مع العراق في موارد نهري دجلة والفرات المائية سيجعل من التقاسم العادل لهذه الموارد المحدودة مصدرا للصراع المحتمل أن لم نقل الحروب خاصة وأن الشحة في العراق تعني المزيد من التهديد للاراضي الزراعية الخصبة والمزيد أيضا من التصحر (102) .

لقد كانت الحكومة العراقية قانعة لحد الآن برسم الخطط وبلورة الاستراتيجيات والبرامج من أجل التقليل وإيقاف تدهور الاراضي ومكافحة التصحر بالإضافة إلى خطط تحسين البيئة وذلك بمساعدة من منظمات الأمم المتحدة المتخصصة (103)(104)(105) ، إلا أنه وللأسف لم ينفذ بصورة جدية من كل ذلك أي شيء من هذه الاستراتيجيات والخطط لحد الآن بسبب الصراعات السياسية والمشاكل الأمنية وقلة التخصيصات المالية . ولم تُبذل أية مجهودات دبلوماسية حقيقية مع أي من تركيا أو إيران لحل قضايا المياه المشتركة وبالأحد الأدنى على الأقل وهو تقاسم الضرر الناتج عن مؤثرات تغير المناخ إن لم نقل حل أصل المشكلة في تقاسم المياه بصورة عادلة بموجب المادتين الخامسة والسابعة من اتفاقية قانون استخدامات المياه الدولية لغير الأغراض الملاحية الصادرة بموجب قرار الجمعية العمومية للأمم المتحدة 299 / 51 في الحادي والعشرين من أيار 1997 والتي أخذت شكل القانون الدولي الملزم منذ أيار 2014 بعد مصادقة

العدد الكافي من الدول الأعضاء عليها (106).

ومن المؤسف أيضا عدم اتخاذ الحكومة العراقية اي مبادرة من أجل تطوير التعاون مع الدول المجاورة لوضع خطط قصيرة أو متوسطة أو طويلة الأمد من أجل وضع الحلول لتقليل المشاكل البيئية السلبية ، ولقد أدى هذا إلى المزيد من القلق لدى المنظمات الدولية التي طالبت الحكومة العراقية باتخاذ مايلزم في هذا المجال وقدمت التوصيات حول هذه القضايا (107).

في الخلاصة فإن آثار التغير المناخي العالمي على بيئة العراق المتسببة في تدهور الأراضي الصالحة وازدياد رقعة التصحر فيه لا تعطي صورة براءة أو مفرحة أبدا في المستقبل ، بل على النقيض من ذلك تماما ، وسوف تواجه حكومة وشعب العراق معا مشاكل وتحديات كبيرة بهذا الخصوص . كما وسوف تواجه الأقطار الأخرى في إقليم البحر الأبيض المتوسط نفس المشاكل والتحديات ولكن بدرجات متفاوتة إلا أن العراق سوف يكون المتضرر الأكبر بينها. لذلك على كافة هذه الدول أن تتوحد في جهود مشتركة من أجل تخفيف وطأة هذه الآثار على الأقل إن لم نقل أزالتها . كما أن على العراق الأخذ بزمام المبادرة للدعوة والتنسيق في هذه الجهود .

### الهوامش والمصادر

1. نصرت أدمو خبير بالسدود والموارد المائية ومهندس استشاري مقيم حاليا في السويد 10 حزيران 2022  
[nasrat.adamo@gmail.com](mailto:nasrat.adamo@gmail.com)
2. Utah Geological Survey. "Glad You Asked- Ice Ages; What are they; What Causes Them". Survey Notes Vol. 42. No.3, Oct. 1, 2010.  
[https://issuu.com/utahgeologicalsurvey/docs/sn\\_42-3\\_sept2010](https://issuu.com/utahgeologicalsurvey/docs/sn_42-3_sept2010)
3. Buis A. "Milankovitch (Orbital) Cycles and Their Role in Earth's". NASA Global Climate Change News, 27<sup>th</sup> February 2020.  
<https://climate.nasa.gov/news/2948/milankovitch-orbital-cycles-and-their-role-in-earths-climate/>
4. Carey B. "Sahara Desert Was Once Lush and Populated". Live Science, Published July 20, 2006. Accessed on 27<sup>th</sup> April. 2022 <https://www.livescience.com/4180-sahara-desert-lush-populated.html>

5. Texas A& M University. “6,000 years ago, the Sahara Desert was tropical, so what happened?”. November 30, 2016. Accessed on 30 April 2022  
<https://www.sciencedaily.com/releases/2016/11/161130141053.htm>
6. Strickland A. “Ancient climate change helped early humans migrate across the Arabian Desert”. CNN. Updated September 1, 2021. Accessed on 30<sup>th</sup> April 2022. <https://edition.cnn.com/2021/09/01/world/early-humans-arabia-migration-scn/index.html>
7. Gündüz M. “The origin of the Sumerians”. Advances in Anthropology 2012. Vol.2, No.4, 221-223 Published Online November 2012 in Science Research  
[https://www.researchgate.net/publication/273947912\\_The\\_Origin\\_of\\_Sumerians](https://www.researchgate.net/publication/273947912_The_Origin_of_Sumerians)
8. Pumpelly R. “Explorations in Turkestan expedition of 1904 prehistoric civilizations of Anau”. Publication No. 73. Vol. 1. PP 72-75. The Carnegie Institution of Washington. 1908  
<http://www.etana.org/sites/default/files/coretexts/20373.pdf>
9. Anatole, A. K. (2012). Ancient history of arbins, bearers of HaplogroupR1b, from CENTRAL Asia to Europe, 16,000 to 1500 years before Present. Advances in Anthropology, 2, 49-56 <https://www.scirp.org/journal/paperinformation.aspx?paperid=19567>
10. Schneider A, Adali S. “No harvest was Reaped: demographic and climatic factors in the decline of the Neo- Assyrian Empire”. Climatic Change, 127, PP.435–446. 4<sup>th</sup> Nov. 2014.  
[https://www.researchgate.net/publication/284837312\\_No\\_harvest\\_was\\_reaped\\_demographic\\_and\\_climatic\\_factors\\_in\\_the\\_decline\\_of\\_the\\_Neo-Assyrian\\_Empire](https://www.researchgate.net/publication/284837312_No_harvest_was_reaped_demographic_and_climatic_factors_in_the_decline_of_the_Neo-Assyrian_Empire)
11. Wikipedia. “Green House Gas”. Accessed on 19<sup>th</sup> May 2022.  
[https://en.wikipedia.org/wiki/Greenhouse\\_gas](https://en.wikipedia.org/wiki/Greenhouse_gas)
12. Cook J. “Why did we have global warming during the Industrial Revolution?”. Skeptical Science Blogspot. Last updated on 9th July 2010. Accessed on 6th April 2022  
<https://skepticalscience.com//Industrial-Revolution-global-warming.htm>
13. Wollersheim L. “What is Climate Change and Global Warming and How Does it Affect Us”. Extracts from the book “Climageddon: The Global Warming and How to Survive it”. 2017  
[https://www.joboneforhumanity.org/global\\_warming?gclid=Cj0KCQiAhZT9BRDmARIsAN2E-J1JPzm-EMxexrhpgKPPdFRjRvH8QdmCaNi5B8mk0V8FqnAtOy4rdQEaAmTxEALw\\_wcB](https://www.joboneforhumanity.org/global_warming?gclid=Cj0KCQiAhZT9BRDmARIsAN2E-J1JPzm-EMxexrhpgKPPdFRjRvH8QdmCaNi5B8mk0V8FqnAtOy4rdQEaAmTxEALw_wcB)
14. American Chemical Society. “What are the greenhouse gas changes since the Industrial Revolution?”. Blogspot accessed on 12th December 2020  
<https://www.acs.org/content/acs/en/climatescience/greenhousegases/industrialrevolution.html>
15. American Chemical Society. “The Keeling Curve: Carbon Dioxide Measurements at Mona- Loa ; National Historic Chemical Land Mark.” Accessed on 6th April 2022.  
<https://www.acs.org/content/acs/en/education/whatischemistry/landmarks/keeling-curve.html>
16. Hatfield B. “How Does the Solar Cycle Affect Earth's Climate?”. National Aeronautics and Space Administration. Last updated on 1<sup>st</sup> February 2021. Accessed on 19<sup>th</sup> May 2020.  
[https://www.nasa.gov/mission\\_pages/sunearth/solar-events-news/Does-the-Solar-Cycle-Affect-Earths-Climate.html](https://www.nasa.gov/mission_pages/sunearth/solar-events-news/Does-the-Solar-Cycle-Affect-Earths-Climate.html)

17. McGregor H, Gergis J, Abram N, Phippis. “The Industrial Revolution- kick-started global warming much earlier than when we realized”. The Conversation Blogsite. August 24, 2016  
<https://theconversation.com/the-industrial-revolution-kick-started-global-warming-much-earlier-than-we-realised-64301>
  18. Applegate D. “Near East: Origins of Domestication and Food Production”. Western Kentucky University. Accessed on 20<sup>h</sup> April 2022.  
<http://people.wku.edu/darlene.applegate/oldworld/webnotes/3neareast/food.html>
  19. EU Commission, Joint Research Center. “World Atlas of Desertification -Patterns of Aridity”. Accessed on 22<sup>nd</sup> , 2022  
<https://wad.jrc.ec.europa.eu/patternsaridity>
- and,
- [https://wad.jrc.ec.europa.eu/sites/default/files/atlas\\_pdf/JRC\\_WAD\\_fullVersion.pdf](https://wad.jrc.ec.europa.eu/sites/default/files/atlas_pdf/JRC_WAD_fullVersion.pdf)
  20. Ziv B, Saaroni H, Alpert P. ”The Factors governing the Summer Regime of the Eastern Mediterranean”. International Journal of Climatology. Vol. 24. PP1859- 1871. 2004. (2004) Published online in Wiley Interscience (www.interscience.wiley.com)  
<https://rmets.onlinelibrary.wiley.com/doi/epdf/10.1002/joc.1113>
  21. Krichak S. Kishcha, P. Alpert P. “Decadal trends of main Eurasian oscillations and the Eastern Mediterranean precipitation”. Theoretical and Applied Climatology, Vol.72, PP 209-220. (2002)  
<https://link.springer.com/article/10.1007/s007040200021>
  22. Dunkeloh A, Jacobeit J. “Circulation Dynamics of Mediterranean Precipitation Variability 1948-98”. Int. J. Climatology. 23: 1843–1866 (2003). Published online in Wiley Interscience.  
<https://doi.org/10.1002/joc.973>
  23. Adamo N. Al-Ansari N. “Climate Change Impacts: The Middle East and Iraq in Focus. September 2018”.  
[https://www.academia.edu/37429636/Climate\\_Change\\_Impacts\\_The\\_Middle\\_East\\_and\\_Iraq\\_in\\_Focus](https://www.academia.edu/37429636/Climate_Change_Impacts_The_Middle_East_and_Iraq_in_Focus)
  24. Trigo I F, Davies T D, Bigg G R. “Decline in Mediterranean rainfall caused by weakening of Mediterranean cyclones”. Geophysical Research Letters 27., PP. 2913-2916. 15 September 2000. Wiley Online Library  
<https://doi.org/10.1029/2000GL011526>
  25. Donat M G, Peterson T C, Brunt M, King A D, Almazroui M & others. “Changes in extreme temperature and precipitation in the Arab region: long term trends and variability related to ENSO and NAO”. International Journal of Climatology, 34:581-592 (2014).  
[https://www.researchgate.net/publication/260532025\\_Changes\\_in\\_extreme\\_temperature\\_and\\_precipitation\\_in\\_the\\_Arab\\_region\\_Long-term\\_trends\\_and\\_variability\\_related\\_to\\_ENSO\\_and\\_NAO](https://www.researchgate.net/publication/260532025_Changes_in_extreme_temperature_and_precipitation_in_the_Arab_region_Long-term_trends_and_variability_related_to_ENSO_and_NAO)
- Kelley C P, Mohtadi S , Cane M A , Seager R and Y Kushnir, (2015), ‘Climate change [26] in the Fertile Crescent and implications of the recent Syrian drought’. In *Proceedings of the National Academy of Sciences* , pp. 3241–3269 . Washington : United States National .Academy of Sciences

<https://www.pnas.org/doi/pdf/10.1073/pnas.1421533112>

27. Al Jazira Net. “Water crisis and drought threaten 12 million in Syria, Iraq”. Published on 23<sup>rd</sup> Aug. 2021. Accessed on 28<sup>th</sup> April 2022.

<https://www.aljazeera.com/news/2021/8/23/water-crisis-and-drought-threaten-12-million-in-syria-iraq>

28. Alfardan R. “Iraq's Growing Desertification Problem”. Planetary Security Initiative. Published on 4th May, 2021. Accessed on 28th April 2022.

<https://www.planetarysecurityinitiative.org/news/iraqs-growing-desertification-problem>

29. UN General Assembly. “Convention on the Law of the Non-navigational Uses of International Watercourses 1997”. Adopted on 21 May 1997. Entered into force on 17 August 2014.

[https://legal.un.org/ilc/texts/instruments/english/conventions/8\\_3\\_1997.pdf](https://legal.un.org/ilc/texts/instruments/english/conventions/8_3_1997.pdf)

Lelieveld J, Hadjinicolaou P, E. Kostopoulou E, Chenoweth J, El Maayar M, .30 Giannakopoulos C, Hannides C, Lange M A, Tanarhte M, E. Tyrlis E, Xoplak E. “Climate change and impacts in the Eastern Mediterranean and the Middle East”. *Climatic Change* (2012) 114:667–687.

<https://link.springer.com/content/pdf/10.1007/s10584-012-0418-4.pdf>

.31

Lelieveld J. , Proestos Y. , Hadjinicolaou P. , Tanarhte M. , Tyrlis E. and Zittis G. (2016), ‘Strongly increasing heat extremes in the Middle East and North Africa (MENA) in the 21st .century’. In *Climatic Change*, pp. 245–260. New York: Springer Publishing

<https://link.springer.com/content/pdf/10.1007%2Fs10584-016-1665-6.pdf>

Kitoh A, Yatagal A, Alpert P. “First Super-high- Resolution Model Projection that the .32 ancient ”Fertile Crescent ”will disappear in this century”. *Hydrological Research Letters*, .2.14.The Japan Society of Hydrology and water Resources. 2008

[https://www.jstage.jst.go.jp/article/hrl/2/0/2\\_0\\_1/\\_pdf/-char/en](https://www.jstage.jst.go.jp/article/hrl/2/0/2_0_1/_pdf/-char/en)

33. Bozkurt D, Hagemann S “Projected river discharge in the Euphrates – Tigris Basin from a hydrological discharge Model – RCM and GCN outputs”. *Climate Research*, Volume 62.PP, 134-147, 2015..

<http://repositorio.uchile.cl/bitstream/handle/2250/132236/Projected-river-discharge-in-the-Euphrates-Tigris.pdf?sequence=1>

34. Weiß, M., Flörke, M., Menzel, L. and Alcamo, J. 2007. Model - Based Scenarios of Mediterranean droughts. *Advances in Geosciences*. Vol.12, Katlenburg-Lindau, Germany, Copernicus Publications, pp. 145-51.

<http://www.adv-geosci.net/12/145/2007/adgeo-12-145-2007.pdf>

35. Cherlet, M., Hutchinson, C., Reynolds, J., Hill, J., Sommer, S., von MLitts, G. (Eds.). “World Atlas of Desertification”. Page 90. Third Edition. Publication Office of the European Union, Luxembourg, 2018.

[https://wad.jrc.ec.europa.eu/sites/default/files/atlas\\_pdf/JRC\\_WAD\\_fullVersion.pdf](https://wad.jrc.ec.europa.eu/sites/default/files/atlas_pdf/JRC_WAD_fullVersion.pdf)

36. Wetlands International News. “On 17 July the Marshlands of Southern Iraq, often referred to as the ‘Garden of Eden’, were named a UNESCO World Heritage Site”. Accessed on 21<sup>st</sup> May 2022.

<https://www.wetlands.org/news/iraqi-marshlands-named-a-unesco-world-heritage->

[site/#:~:text=On%202017%20July%20the%20Marshlands%20of%20Southern%20Iraq%2C,are%20the%20largest%20wetland%20in%20the%20Middle%20East.](#)

37. Muir J. “Iraq marshes face grave new threat”. BBC News, Baghdad. Tuesday, 24 February 2009. Retrieved on 2<sup>nd</sup> May 2022.

[http://news.bbc.co.uk/2/hi/middle\\_east/7906512.stm](http://news.bbc.co.uk/2/hi/middle_east/7906512.stm)

38. Richardson C J , Hussain N A . “Restoring the Garden of Eden : An Ecological Assessment of the Marshes of Iraq”. Bioscience Magazine· June 2006 / Vol. 56 No. 6 September 2009.

39. AL Barakat R, Lakshmi V, Tucker C J. “Using Satellite Remote Sensing to Study the Impact of Climate and Anthropogenic Changes in the Mesopotamian Marshlands, Iraq”. Remote Sens. 2018, 10, 1524.

[https://pdfs.semanticscholar.org/ea61/4d26551a1bc211da9d8c78912590882d07db.pdf?\\_ga=2.7470962.1191331984.1651311112-571599531.1645618705](https://pdfs.semanticscholar.org/ea61/4d26551a1bc211da9d8c78912590882d07db.pdf?_ga=2.7470962.1191331984.1651311112-571599531.1645618705)

40. Sherlock R. “In Iraq's famed marshlands, climate change is upending a way of life”. WGCU Public Media. Published on 7<sup>th</sup> Nov. 2021. Retrieved on 2<sup>nd</sup> May 2022.

<https://news.wgcu.org/2021-11-07/in-iraqs-famed-marshlands-climate-change-is-upending-a-way-of-life>

41. Hason M, Abood I S, Odaa A. “Land cover reflectance of Iraqi marshlands based on visible spectral multiband of satellite imagery”. Elsevier. Results in Engineering. Vol.8, December 2020.

<https://www.sciencedirect.com/science/article/pii/S2590123020300736>

42. Aldroubi M. “Climate Change could turn Iraq’s marshes into barren wasteland”. Updated on 1<sup>st</sup> February 2022. Accessed on 21<sup>st</sup> May 2022.

<https://www.thenationalnews.com/mena/iraq/2022/02/01/iraqs-marshes-threatened-by-climate-change-and-dams/>

43. Awadh S M. “Outstanding Universal Values of the Sawa Lake as a World Natural”. Bull. Iraq nat. Hist. Mus. (2016) 14 (1): 1-11.

[https://www.researchgate.net/publication/305653585\\_Outstanding\\_Universal\\_Values\\_of\\_the\\_Sawa\\_Lake\\_as\\_a\\_World\\_Natural\\_Heritage](https://www.researchgate.net/publication/305653585_Outstanding_Universal_Values_of_the_Sawa_Lake_as_a_World_Natural_Heritage)

44. Ramsar Sites Information Service. “Sawa Lake”. Published on 1<sup>st</sup> September 2015. Accessed on 21<sup>st</sup> May 2022.

<https://rsis.ramsar.org/ris/2240>

45. Bonaccorso N. “Climate Change Has Decimated this Once Popular Iraq Lake (PHOTOS)”. The Weather Channel. Accessed on 2<sup>nd</sup> May 2022.

<https://weather.com/photos/news/2022-04-28-lake-sawa-climate-change>

46. Kawa H; Born C; Nordqvist P. “Iraq: Climate – Related Security Risk Assessment”. Stockholm International Peace Research Institute. 2018.

<https://www.preventionweb.net/publication/iraq-climate-related-security-risk-assessment>

47. Cook K. “Iraq’s climate stresses are set to worsen”. Climate News Network. 12<sup>th</sup> Nov. 2018.

<https://www.preventionweb.net/news/iraqs-climate-stresses-are-set-worsen#:~:text=Iraq%E2%80%99s%20climate%20stresses%20are%20worsening%2C%20ra>

[ising%20the%20prospect,and%20much%20of%20its%20infrastructure%20has%20been%20destroyed.](#)

48. PipiWiki. “[Climate Change in Iraq](#)”. Accessed on 30<sup>th</sup> Apr. 2022.  
[https://pipiwiki.com/wiki/Climate\\_change\\_in\\_Iraq?msclkid=c270b883c86611ec99d1d1ae8b783760](https://pipiwiki.com/wiki/Climate_change_in_Iraq?msclkid=c270b883c86611ec99d1d1ae8b783760)

49. Hall R. “Only the rich will be able to escape the unbearable heat -climate change”. United Nation office for Disaster Risk Prevention (UNRR.) Published on 10<sup>th</sup> August 2019.  
<https://www.preventionweb.net/news/future-only-rich-will-be-able-escape-unbearable-heat-climate-change-iraq-its-already-happening?msclkid=c270d148c86611ecbe416657e9ccdc7>

50. Presse A F. “Iraq-s-cultivated-areas-reduced-by-half-as-drought-tightens-grip”. United Nation office for Disaster Risk Prevention (UNRR.) 10 August 2019.  
<https://www.thenationalnews.com/world/mena/iraq-s-cultivated-areas-reduced-by-half-as-drought-tightens-grip-1.756996>

51. US National Security Council. “Climate Change and International Responses Increasing Challenges to US National Security Through 2040”. Posted on 21 Oct. 2021. Accessed on 29<sup>th</sup> April. 2022.  
[https://www.dni.gov/files/ODNI/documents/assessments/NIE\\_Climate\\_Change\\_and\\_National\\_Security.pdf?msclkid=12ef14aec7aa11ec9ae7b1e9ef7a9210](https://www.dni.gov/files/ODNI/documents/assessments/NIE_Climate_Change_and_National_Security.pdf?msclkid=12ef14aec7aa11ec9ae7b1e9ef7a9210)

52. Beck H E , Zimmermann N E, McVicar T R , Vergopolan N, Berg A, Eric F. Wood E F. “Present and future Köppen-Geiger climate classification maps at 1-km resolution”. Scientific Data. : 30th October 2018  
<https://www.ncbi.nlm.nih.gov/pmc/articles/PMC6207062/pdf/sdata2018214.pdf>

53. GIS Geography. “What is NDVI (Normalized Difference Vegetation Index)?”. Last Updated: October 29, 2021, Retrieved on 3rd May 2022.  
<https://gisgeography.com/ndvi-normalized-difference-vegetation-index/>

54. Creutzburg M K. “Remote sensing methods: biological crust index”. The Landscape Tool Box. Last modified: 2012/03/ 08. Retrieved on 3<sup>rd</sup> May 2022.  
[https://wiki.landscapetoolbox.org/doku.php/remote\\_sensing\\_methods:biological\\_crust\\_index](https://wiki.landscapetoolbox.org/doku.php/remote_sensing_methods:biological_crust_index)

55. Al- Dullami A K. “Using Normalized Difference Vegetation Index (NDVI) and some of vegetation Indicators for the Monitoring Desertification and Sand dunes in the Baiji/ Iraq”. (In Arabic). Tikrit University Journal of Pure Science. 2015. Vol. 20, Issue 1, Pages 109-120  
<https://iasj.net/iasj/download/83971f4b0d180057>

56. Al- Timimi Y K .“Monitoring Desertification in Some Regions of Iraq Using GIS Techniques”. Iraqi Journal of Agricultural Sciences. 2021, Vol.52, Issue 3, PP 620-625.  
<https://iasj.net/iasj/download/6eafd6f2c39e90fb>

57. Eklund L, Seaquist J. “Meteorological, Agricultural and Sociological Droughts in the Duhok Governorate; Iraqi Kurdistan”. Natural Hazards 2015, 76(1): 421-444.  
[https://www.researchgate.net/publication/271737306\\_Meteorological\\_agricultural\\_and\\_socio\\_economic\\_drought\\_in\\_the\\_Duhok\\_Governorate\\_Iraqi\\_Kurdistan](https://www.researchgate.net/publication/271737306_Meteorological_agricultural_and_socio_economic_drought_in_the_Duhok_Governorate_Iraqi_Kurdistan)

58. Othman A, Al -Saady Y, Shihab A T, Al- Maamar A. “Monitoring of the Land Cover Changes in Iraq”. PP. 279–300. (Chapter 8: Enviromental Remote Sensing and GIS in Iraq). Springer 2020. (ed: A F Al- Quraish et al.).

<https://www.researchgate.net/publication/332779516> The Aeolian Sand Dunes in Iraq A New Insight

59. NOAA Central Library “Iraq Climatological Data”. Accessed on 6<sup>th</sup> May 2022.  
<https://library.noaa.gov/Collections/Digital-Docs/Foreign-Climate-Data/Iraq-Climate-Data#o48577960>

60. World Bank Climate Change Knowledge Portal. “Iraq- Current Climatology”. Accessed on 22<sup>nd</sup> May 2022. <https://climateknowledgeportal.worldbank.org/country/iraq/climate-data-historical>

61. World Bank Climate Change Knowledge Portal. “Iraq- Current Climatology”. Accessed on 22<sup>nd</sup> May 2022. <https://climateknowledgeportal.worldbank.org/country/iraq/climate-data-historical>

62. Encyclopedia Britannica. “Climate of Iraq”. Accessed on 21<sup>st</sup> May 2022.  
<https://www.britannica.com/place/Iraq/Climate>

63. Yan Yu, Michael Notaro, Olga V. Kalashnikova, and Michael J. Garay “Climatology of summer Shamal wind in the Middle East”. Journal of Geophysical Research: Atmospheres. Published online on 7th December 2015

<https://www.researchgate.net/publication/286413083> Climatology of summer Shamal wind in the Middle East#fullTextFileContent

64. Wikipedia. “Sharqi (wind)”. Accessed on 6<sup>th</sup> May 2022.  
[https://en.wikipedia.org/wiki/Sharqi\\_\(wind\)](https://en.wikipedia.org/wiki/Sharqi_(wind))

65. World Atlas. “Types of Sand Dunes”. Accessed on 6<sup>th</sup> May 2022.  
<https://www.worldatlas.com/articles/types-of-sand-dunes.html>

66. Lancaster N. “Sand Seas and Dunes Fields of the World: A Digital Atlas”. Paper No.72-4. Desert Research Institute, NV. 2008.  
<https://www.researchgate.net/publication/237080540> Sand seas and dune fields of the world a digital atlas

67. Atlas Obscura. “Lemons Sand Dunes- Lemons, Greece”. Accessed on 6<sup>th</sup> May 2022.  
<https://www.atlasobscura.com/places/lemnios-sand-dunes>

68. Al Quraishi A M F. “Sand dunes monitoring using remote sensing and GIS techniques for some sites in Iraq”. Conference: The 3rd International Conference on Photonics and Image in Agriculture Engineering (PIAGENG 2013), Jan. 27-28, 2013, Sanya, China  
<https://www.researchgate.net/publication/235577590> Sand dunes monitoring using remote sensing and GIS techniques for some sites in Iraq#fullTextFileContent

69. Atiyah K S. “The Impact of Drought on Environmental Degradation in Baiji District”. (In Arabic). Journal of Basic Sciences, 2021, Volume 3, Issue 4, Pages 351-376. University of Mosul.  
<https://iasj.net/iasj/download/cbed9e2e0b5fb595>

70: Climate Data Guide. “Standard Precipitation Index (SPI)”. Accessed on 7<sup>th</sup> May 2022.  
<https://climatedataguide.ucar.edu/climate-data/standardized-precipitation-index-spi>

71: Standardized Precipitation Index (SPI). Accessed on 7<sup>th</sup> May 2022.  
<https://gmao.gsfc.nasa.gov/research/subseasonal/atlas/SPI-html/SPI-description.html>

72. Farhood A F, Suilman A S. "Monitoring the Movement of Sand Dunes in ThiQar Governorate Using Some Spectral Indices". International Journal of Scientific Engineering and Research (IJSER) (2015): 62.86  
<https://www.ijser.in/archives/v5i4/IJSER151321.pdf>
73. Sahar, A.A., Rasheed, M.J., Uaid, D.A.A.H., Jasim, A.A. "Mapping Sandy Areas and their changes using remote sensing. A Case Study at North-East Al-Muthanna Province, South of Iraq". Revista de Teledetección, 58, 39-52.  
<https://polipapers.upv.es/index.php/raet/article/view/13622/14158>
74. Al- Hasnawi Z W Kh. "The effect of wind erosion and soil stability on the expansion of desertification phenomenon and sand dunes in Najaf". Journal of Surra Man Raa, 2014,.  
<https://iasj.net/iasj/download/b6edbc4840ab011c>
75. Humadi J, Haddad A, Abd-Rabu W, Abdul Razzaq A, Jasim T, Al- Faraji F, Abbas A, Mizel R, Ahmad A, Muhamad A, Khalaf A, Al- Dabbas M, Muhamad D, Al- Hasani A, Jamil z, Dakhil F, Abdelhamid A, Ali A, Humadi A. "Iraq National Program for Combating Desertification". Report of the Special Ministerial Committee with Support of UNEP- ROWA, AOAD, GEF international Organizations. Baghdad. 2017  
[https://ia902506.us.archive.org/11/items/20220508\\_20220508\\_1158/%D8%A8%D8%B1%D9%86%D8%A7%D9%85%D8%AC%D8%A3%D9%84%D8%B9%D9%85%D9%84%D8%A3%D9%84%D9%88%D8%B7%D9%86%D9%8A%D9%84%D9%85%D9%83%D8%A7%D9%81%D8%AD%D8%A9%D8%A3%D9%84%D8%AA%D8%B5%D8%AD%D8%B1%D9%81%D9%8A%D8%A3%D9%84%D8%B9%D8%B1%D8%A7%D9%82.pdf](https://ia902506.us.archive.org/11/items/20220508_20220508_1158/%D8%A8%D8%B1%D9%86%D8%A7%D9%85%D8%AC%D8%A3%D9%84%D8%B9%D9%85%D9%84%D8%A3%D9%84%D9%88%D8%B7%D9%86%D9%8A%D9%84%D9%85%D9%83%D8%A7%D9%81%D8%AD%D8%A9%D8%A3%D9%84%D8%AA%D8%B5%D8%AD%D8%B1%D9%81%D9%8A%D8%A3%D9%84%D8%B9%D8%B1%D8%A7%D9%82.pdf)
76. Middleton N. "A geography of dust storms in South-West Asia". International Journal of Climatology, 6(2):183 – 196. January 1986.  
[https://www.researchgate.net/publication/229866478\\_A\\_geography\\_of\\_dust\\_storms\\_in\\_South-West\\_Asia](https://www.researchgate.net/publication/229866478_A_geography_of_dust_storms_in_South-West_Asia)
77. Cassidy E. "What are the Differences Between Sandstorms, Dust Storms and Haboobs?". AccuWeather. Published Aug. 19, 2014 and updated Nov. 7, 2019.  
<https://www.accuweather.com/en/weather-news/what-are-the-differences-between-sandstorms-dust-storms-and-haboobs/152029>
78. UNEP, WMO, UNCCD, 2016: "Global Assessment of Sand and Dust Storms. United Nations Environment Programme, Nairobi, Kenya". PP. 25-27.  
[https://library.wmo.int/doc\\_num.php?explnum\\_id=3083](https://library.wmo.int/doc_num.php?explnum_id=3083)
79. Gkikas A, Hatzianastassiou N, Mihalopoulos N. "Aerosol events in the broader Mediterranean basin based on 7-year (2000–2007) MODIS C005 data". Annales Geophysicae. Published: 23 September 2009.  
[https://pdfs.semanticscholar.org/907f/97a1ae490ee2eca9130503b63bdfdaeb0840.pdf?\\_ga=2.49982245.284373537.1652167081-571599531.1645618705](https://pdfs.semanticscholar.org/907f/97a1ae490ee2eca9130503b63bdfdaeb0840.pdf?_ga=2.49982245.284373537.1652167081-571599531.1645618705)
80. Dundar C, Gokcen A, Isik A G , Kahraman, Oguz K, Gullug. "Spatial and Temporal Analysis of Sand and Dust Storms between the years 2003 and 2016 in the Middle East". Dust Sources and Their Impacts in The Middle East. 5<sup>th</sup> International Workshop on SDS 23-25 Oct. 2017, Istanbul, Turkey.  
[https://www.researchgate.net/publication/325710836\\_Spatial\\_and\\_Temporal\\_Analysis\\_of\\_Sand\\_and\\_Dust\\_Storms\\_between\\_the\\_years\\_2003\\_and\\_2016\\_in\\_the\\_Middle\\_East](https://www.researchgate.net/publication/325710836_Spatial_and_Temporal_Analysis_of_Sand_and_Dust_Storms_between_the_years_2003_and_2016_in_the_Middle_East)

81. World Bank (2019). "Sand and Dust Storms in the Middle East and North Africa (MENA)Region – Sources, Costs, and Solutions". World Bank Publication. Washington, D.C.  
<https://documents1.worldbank.org/curated/en/483941576489819272/pdf/SAND-AND-DUST-STORMS-IN-THE-MIDDLE-EAST-AND-NORTH-AFRICA-MENA-REGION-SOURCES-COSTS-AND-SOLUTIONS.pdf>
82. IPCC Special Report. "Climate Change and Land". Technical Summary Report, 2021. Page 45.  
[https://www.ipcc.ch/site/assets/uploads/sites/4/2020/07/03\\_Technical-Summary-TS\\_V2.pdf](https://www.ipcc.ch/site/assets/uploads/sites/4/2020/07/03_Technical-Summary-TS_V2.pdf)
83. Sissakian V K, Al-Ansari N, Knutsson S. "Sand and dust storm events in Iraq". Natural Science, Vol. 5, No. 10. October 2013.  
[https://www.scirp.org/pdf/NS\\_2013101014315787.pdf](https://www.scirp.org/pdf/NS_2013101014315787.pdf)
84. Albarakat R, Venkataraman L. "Monitoring Dust Storms in Iraq Using Satellite Data". MDPI Sensors. Aug 2019. <https://doi.org/10.3390/s19173687>
85. Hamzeh N H, Karami S, Kaskaoutis D G, Tegen I, Moradi M, Opp C. "Atmospheric Dynamics and Numerical Solutions of Six frontal dust Storms in The Middle East". MDPI. Atmosphere, Vol. 12. Issue1. Published: 18 January 2021.  
<https://doi.org/10.3390/atmos12010125>
86. Al- Ansari N, Adamo N. "Present Water Crisis in Iraq and its Human and Enviromental Implications". Scientific Research Publishing. Engineering, 2018, 10, 305-319  
[https://www.researchgate.net/publication/325600643\\_Present\\_Water\\_Crises\\_in\\_Iraq\\_and\\_Its\\_Human\\_and\\_Environmental\\_Implications](https://www.researchgate.net/publication/325600643_Present_Water_Crises_in_Iraq_and_Its_Human_and_Environmental_Implications)
87. Al-Ansari N A, Abdellatif M , Al- Khateeb M, Knutsson S. (2014) ."Desertification and Future Rainfall Trends North Iraq". 8<sup>th</sup> Edition of the International Scientific Congress of GIS and Geospace Application Geotunis. Tunis, 2-4 April 2014.  
<https://mail.google.com/mail/u/0/#inbox/QgrcJHsBqzhKLRCvBrSLmqzNjsSKtNMgsDL?projector=1&messagePartId=0.2>
88. Al- Ansari N A, Abdellatif M. Zakaria S, Mustafa Y, Knutsson S. (2014) "Future Prospects for Macro Rainwater Harvesting(RWH) Techniques in North East Iraq. Journal of Water Resources and Protection, 6. 403-420.  
[https://www.scirp.org/pdf/JWARP\\_2014041816424305.pdf](https://www.scirp.org/pdf/JWARP_2014041816424305.pdf)
89. Al- Ansari N A, Abdellatif M. Ezeelden M, Ali S, Knutson S. (2017). "Climate change and Future Long Term Trends of Rainfall at North- Eastern Part of Iraq". Journal of Civil Engineering and Architecture, 8. 790-805.  
[https://pdfs.semanticscholar.org/5678/bcdb89871aba24e32f9215abe75b8280879c.pdf?\\_ga=2.98053087.150082046.1652261530-480338193.1644589432](https://pdfs.semanticscholar.org/5678/bcdb89871aba24e32f9215abe75b8280879c.pdf?_ga=2.98053087.150082046.1652261530-480338193.1644589432)
90. Osman Y, Abdellatif M. Ezeelden M, Ali S, Knutsson Aljawad S B. (2017). "Climate Change and Future Precipitation in Arid Environment of the Middle East: Case Study of Iraq". Journal of Enviromental Hydrology, 25. 1-18.  
[https://www.academia.edu/34778714/CLIMATE\\_CHANGE\\_AND\\_FUTURE\\_PRECIPITATION\\_IN\\_AN\\_ARID\\_ENVIRONMENT\\_OF\\_THE\\_MIDDLE\\_EAST\\_CASE\\_STUDY\\_OF\\_Iraq](https://www.academia.edu/34778714/CLIMATE_CHANGE_AND_FUTURE_PRECIPITATION_IN_AN_ARID_ENVIRONMENT_OF_THE_MIDDLE_EAST_CASE_STUDY_OF_Iraq)
91. Osman Y, Al-Ansari N A, Abdellatif M. (2017). "Climate change Model as a Decision Support Tool for water Resources Management: A Case Study of Greater Zab River". Journal of Water and Climate Change, 8. 1-14.

[https://pdfs.semanticscholar.org/b0f3/d8bd2b0e0096b3e82380a13917632b44e98a.pdf?\\_ga=2.89990107.150082046.1652261530-480338193.1644589432](https://pdfs.semanticscholar.org/b0f3/d8bd2b0e0096b3e82380a13917632b44e98a.pdf?_ga=2.89990107.150082046.1652261530-480338193.1644589432)

92. USAID. “Climate Risk Profile: Iraq”. March 2017. Accessed on 11<sup>th</sup> May 2011.  
[https://www.climatelinks.org/sites/default/files/asset/document/2017Mar3\\_GEMS\\_Climate%20Risk%20Profile\\_Iraq\\_FINAL.pdf](https://www.climatelinks.org/sites/default/files/asset/document/2017Mar3_GEMS_Climate%20Risk%20Profile_Iraq_FINAL.pdf)

93. Qadir S A. “Integrated Water Resources Management: Case Study of Iraq”. M.A Thesis. Notre Dame University. PP. 91-98.  
[https://www.academia.edu/9372972/Notre\\_Dame\\_University\\_Faculty\\_of\\_Political\\_Science\\_Public\\_Administration\\_and\\_Diplomacy\\_Integrated\\_Water\\_Resources\\_Management\\_Case\\_Study\\_of\\_Iraq](https://www.academia.edu/9372972/Notre_Dame_University_Faculty_of_Political_Science_Public_Administration_and_Diplomacy_Integrated_Water_Resources_Management_Case_Study_of_Iraq)

94. Al-Ansari N. “Hydro-Politics of the Tigris and Euphrates Basins”. Scientific Research Publishing. Engineering, 2016, 8, 140-172.  
<http://www.diva-portal.org/smash/get/diva2:986811/FULLTEXT01.pdf>

95. Sowers J, Vengosh A, Weinthal E. “Climate change, water resources, and the politics of adaptation in the Middle East and North Africa”. Climatic Change (2011) 104:599–62  
<https://dukespace.lib.duke.edu/dspace/bitstream/handle/10161/6460/Climate%20Change%20and%20MENA%20water.pdf?sequence=1>

96. Kurdish Human Rights Projects. “Downstream Impacts of Turkish Dam Construction on Syria and Iraq”. Joint Report of Fact Finding mission to Syria and Iraq. 2002.  
<http://www.thecornerhouse.org.uk/sites/thecornerhouse.org.uk/files/IraqSyri.pdf>

97. Al-Ansari N, Adamo N, Knutsson N, Laue J. “Geopolitics of the Tigris and Euphrates Basins”. Journal of Earth Sciences and Geotechnical Engineering, vol . 8, no. 3, 2018, 187-222. [https://www.academia.edu/77416358/Geopolitics\\_of\\_the\\_Tigris\\_and\\_Euphrates\\_Basins](https://www.academia.edu/77416358/Geopolitics_of_the_Tigris_and_Euphrates_Basins)

98. Lee J. “Iraq and Saudi Arabia to Cooperate in Agriculture”. Iraq Business New on 1<sup>st</sup> February 2022. Accessed on 12<sup>th</sup> May 2022.  
<https://www.iraq-businessnews.com/2022/02/01/iraq-and-saudi-arabia-to-cooperate-in-agriculture/>

99. Tolba M K, Saib N W. “Arab Environment: Future Challenges”. Arab Forum For Environment and Development Report. 2008.  
[https://www.academia.edu/38679765/Arab\\_Environment\\_Future\\_Challenges](https://www.academia.edu/38679765/Arab_Environment_Future_Challenges)

100. Saifi N, Boulghobra N, Fattoum L “The Green Dam in Algeria as a tool to combat desertification”. GRF Davos Planet at Risk, Volume 3, Number 1, Special Issue on the 5th IDRC Davos 2014, March 2015  
[https://www.researchgate.net/publication/273286423\\_The\\_Green\\_Dam\\_in\\_Algeria\\_as\\_a\\_tool\\_to\\_combat\\_desertification](https://www.researchgate.net/publication/273286423_The_Green_Dam_in_Algeria_as_a_tool_to_combat_desertification)

101. UN Convention to Combat Desertification. “The Great Green Wall Implementation Status and Way to 2030”. Report. 2020.  
[https://catalogue.unccd.int/1551\\_GGW\\_Report\\_ENG\\_Final\\_040920.pdf](https://catalogue.unccd.int/1551_GGW_Report_ENG_Final_040920.pdf)

102. Al-Ansari N, Adamo N. “Present Water Crises in Iraq and Its Human and Environmental Implications”. Scientific Research Publishing, Engineering, 2018, 10, 305-319. <http://www.diva-portal.org/smash/get/diva2:1214618/FULLTEXT01.pdf>

103. Ministry of Agriculture. “Land Degradation Neutrality Target Setting National Report”. prepared with the support of (LDN TSP) and partners. 2019

[https://knowledge.unccd.int/sites/default/files/ldn\\_targets/2019-08/Iraq%20LDN%20TSP%20Country%20Report.pdf](https://knowledge.unccd.int/sites/default/files/ldn_targets/2019-08/Iraq%20LDN%20TSP%20Country%20Report.pdf)

104. Inter-Ministerial Special Commute .”National Work Program to Combat Desertification in Iraq”. (In Arabic). Prepared with support from (AOAD) and (GEF

105. Ministry of Environment .“The National Environmental Strategy and Action Plan for Iraq (2013 – 2017)”. Prepared in collaboration with the United Nations Environment Programme, United Nations Development Programme and the World Health Organization.  
[https://wedocs.unep.org/bitstream/handle/20.500.11822/8726/-The%20National%20Environmental%20Strategy%20and%20Action%20Plan%20%20\(2013%20%E2%80%93202017\)%20for%20Iraq-2013National Environmental Strategy.pdf?sequence=4&isAllowed=y%2C%20Arabic%7C%7Chttps%3A//wedocs.unep.org/bitstream/handle/](https://wedocs.unep.org/bitstream/handle/20.500.11822/8726/-The%20National%20Environmental%20Strategy%20and%20Action%20Plan%20%20(2013%20%E2%80%93202017)%20for%20Iraq-2013National%20Environmental%20Strategy.pdf?sequence=4&isAllowed=y%2C%20Arabic%7C%7Chttps%3A//wedocs.unep.org/bitstream/handle/)

106. United Nations. “Convention on the Law of the Non-navigational Uses of International Watercourses 1997”. UN 2014.

[https://legal.un.org/ilc/texts/instruments/english/conventions/8\\_3\\_1997.pdf](https://legal.un.org/ilc/texts/instruments/english/conventions/8_3_1997.pdf)

107. Oxfam International . “Unfarmed now. Uninhabited when? Agriculture and climate change in Iraq” J0intl Agency Briefing Note– March 2022.

<https://reliefweb.int/sites/reliefweb.int/files/resources/bn-unfarmed-now-unlived-when-310322-en.pdf>